

10. કોઈ પણ દ્રવ્યના ઇલેક્ટ્રોનો બે અલગ ઊર્જા બેન્ડ (જેમને વેલેન્સ બેન્ડ અને કન્ડક્શન બેન્ડ કહે છે)માંથી કોઈ એકમાં હોઈ શકે. કન્ડક્શન બેન્ડ ઊર્જાઓની સરખામણીમાં વેલેન્સ બેન્ડ ઊર્જા ઓછી હોય છે. વેલેન્સ બેન્ડના બધાં ઊર્જા સ્તરો ભરાયેલા હોય છે જ્યારે કન્ડક્શન બેન્ડના ઊર્જા સ્તરો સંપૂર્ણ ખાલી કે અધુરા ભરેલા હોઈ શકે. કન્ડક્શન બેન્ડમાં રહેલાં ઇલેક્ટ્રોન ઘન પદાર્થમાં ગતિ કરવા માટે મુક્ત હોય છે અને તે વાહકતા માટે જવાબદાર હોય છે. વાહકતાની માત્રા (પ્રમાણ), વેલેન્સ બેન્ડ ( $E_V$ )ના મહત્વમાંસ્તર અને કન્ડક્શન બેન્ડના તળિયા (લઘુતમ) સ્તર  $E_C$  વચ્ચે ઊર્જા તફાવત ( $E_g$  બેન્ડ ગેપ) પર આધાર રાખે છે. વેલેન્સ બેન્ડમાં રહેલાં ઇલેક્ટ્રોનને ઉખા, પ્રકાશ અને વિદ્યુતઊર્જા વડે ઉદ્દીપન કરીને કન્ડક્શન બેન્ડમાં મોકલી શકાય છે, જેથી સેમિકન્ડક્ટરમાં પસાર થતો પ્રવાહ બદલાય છે.
11. અવાહકો માટે  $E_g > 3 \text{ eV}$ , સેમિકન્ડક્ટરો માટે  $E_g$ નું મૂલ્ય 0.2થી 3 eV, જ્યારે ધાતુઓ માટે  $E_g \approx 0$  હોય છે.
12. બધી અર્ધવાહક રચનાઓ માટે  $p-n$  જંક્શન મહત્વનું છે. જ્યારે આવું જંક્શન બને છે, ત્યારે ઇલેક્ટ્રોન અને હોલ ગુમાયેલા હોય તેવું બિન-ગતિશીલ આયન-કેન્દ્રો ધરાવતું ‘ડીલ્યુશન સ્તર’ રચાય છે. તે જંક્શનના પોટેન્શિયલ બેસિયર માટે જવાબદાર હોય.
13. આપેલ બાબ્બ વોલ્ટેજ બદલીને જંક્શન બેસિયર (ની ઊંચાઈ) બદલી શકાય છે. ફોર્વર્ડ બાયસમાં ( $n$ -બાજુ બેટરીના ઋણ છેડા સાથે અને  $p$ -બાજુ ધન છેડા સાથે જોડેલી હોય છે). બેસિયર (ની ઊંચાઈ) ઘટે છે, જ્યારે રિવર્સ બાયસમાં બેસિયર વધે છે. આથી  $p-n$  જંક્શન ડાયોડમાં ફોર્વર્ડ બાયસ પ્રવાહ વધુ (mA) હોય છે જ્યારે રિવર્સ બાયસમાં પ્રવાહ ઘણો ઓછો ( $\mu\text{A}$ ) હોય છે.
14. એસી વોલ્ટેજને રેઝિટ્ફાય કરવા (જે એસી વોલ્ટેજને એક જ દિશામાં વહેવા દે છે) માટે ડાયોડનો ઉપયોગ થાય છે. કેપેસીટર કે યોગ્ય ફિલ્ટરનો ઉપયોગ કરીને ડિસી વોલ્ટેજ મેળવી શકાય છે.
15. કેટલાક વિશિષ્ટ હેતુ માટેના ડાયોડ પણ હોય છે.
16. જેનર ડાયોડ આવો જ એક વિશિષ્ટ હેતુ માટેનો ડાયોડ છે. રીવર્સ બાયસમાં, અમુક ચોક્કસ વોલ્ટેજ પછી, જેનર ડાયોડમાંથી પસાર થતો પ્રવાહ અચાનક વધે છે (બ્રેકડાઉન વોલ્ટેજ). આ ગુણધર્મનો ઉપયોગ વોલ્ટેજ રેઝયુલેશનમાં થાય છે.
17.  $p-n$  જંક્શનનો ઉપયોગ કેટલાક ફોટોનિક ઉપકરણો બનાવવામાં પણ થાય છે, જેમાં ફોટોન ભાગ લે છે. (a) ફોટોડાયોડમાં ફોટોન વડે ઉદ્દિપન થતાં રિવર્સ સેચ્યુરેશન પ્રવાહ બદલાય છે, જેના પરથી પ્રકાશની તીવ્રતા માપી શકાય છે. (b) સોલર સેલ, ફોટોન ઊર્જાનું વિદ્યુતમાં રૂપાંતર કરે છે. (c) લાઇટ એમિટોર ડાયોડ અને લેસર ડાયોડમાં બાયસ વોલ્ટેજ વડે ઇલેક્ટ્રોનનું ઉદ્દિપન થતાં પ્રકાશ ઉદ્ભબે છે.
18. એવા કેટલાક ચોક્કસ પ્રકારના પરિપથો છે, જે 0 અને 1 સ્તર ધરાવતા ડિજિટલ ટેટા સાથે કામ પાર પાડે છે. તે ડિજિટલ ઇલેક્ટ્રોનિક્સના વિષયમાં આવે છે.
19. ચોક્કસ પ્રકારના લોજિક કાર્યો કરતા અગત્યના ડિજિટલ પરિપથોને લોજિક ગેટ કહે છે : તેઓ OR, AND, NOT, NAND અને NOR ગેટ છે.

### ગણ વિચારણાના મુદ્દાઓ

1. સેમિકન્ડક્ટરોમાં ઊર્જા પટો (E<sub>C</sub> અથવા E<sub>V</sub>) પદાર્થમાં કોઈ ચોક્કસ સ્થાન પર ગોઠવાયેલા હોતા નથી. આ ઊર્જાઓ તેમના સમગ્રપણે સરેરાશ મૂલ્યો હોય છે. જ્યારે તમે ચિત્રમાં E<sub>C</sub> કે E<sub>V</sub>ને સીધી (આડી) રેખા તરીકે જુઓ ત્યારે તેમનો અર્થ એ સમજવો જોઈએ કે તે અનુક્રમે કન્ડક્શન બેન્ડના ઊર્જા સ્તરોનું તાજીયું કે વેલેન્સ બેન્ડના ઊર્જા સ્તરોનું ટોચનું સ્તર છે.
2. તાત્ત્વિક સેમિકન્ડક્ટર (Si કે Ge)માંથી  $n$ -પ્રકાર કે  $p$ -પ્રકારના સેમિકન્ડક્ટર મેળવવા તેમાં ‘ડોપન’ને અશુદ્ધ તરીકે ઉમેરવામાં આવે છે. સંયોજન સેમિકન્ડક્ટરમાં તેમના સાપેક્ષ પ્રમાણમાં ફરફાર કરવાથી સેમિકન્ડક્ટરનો પ્રકાર બદલી શકાય છે. ઉદાહરણ તરીકે, આદર્શ

## સેમિકન્ડક્ટર ઈલેક્ટ્રોનિક્સ : દ્રવ્યો, રચનાઓ અને સાધા પરિપથો

GaAsમાં Ga : Asનો ગુણોત્તર 1 : 1 છે પરંતુ Ga-Rich અથવા As-Richમાં તે પ્રમાણ અનુક્રમે  $\text{Ga}_{1.1}\text{As}_{0.9}$  અથવા  $\text{Ga}_{0.9}\text{As}_{1.1}$  હોઈ શકે. બ્યાપક રૂપે અશુદ્ધિઓનું પ્રમાણ, સેમીકન્ડક્ટરના ગુણધર્મો ધંધી રીતે બદલે છે.

3. વર્તમાન સમયના પરિપથમાં ઘડા લોજિક ગેટ કે પરિપથો એક જ 'ચીપ' પર રચવામાં આવે છે (ઇન્ટિગ્રેટ કરવામાં આવે છે). તેમને ઇન્ટિગ્રેટ સર્કિટ (IC) કહે છે.

### સ્વાધ્યાય

**14.1** *n*-પ્રકારના સિલિકોન માટે નીચેના વિધાનોમાંથી ક્યું સાચું છે ?

- (a) ઈલેક્ટ્રોન મેઝોરિટી વાહકો છે અને ટ્રાઇવેલન્ટ પરમાણુઓ ડોપન્ટ છે.
- (b) ઈલેક્ટ્રોન માઈનોરિટી વાહકો છે અને પેન્ટાવેલન્ટ પરમાણુઓ ડોપન્ટ છે.
- (c) હોલ્સ માઈનોરિટી વાહકો છે અને પેન્ટાવેલન્ટ પરમાણુઓ ડોપન્ટ છે.
- (d) હોલ્સ મેઝોરિટી વાહકો છે અને ટ્રાઇવેલન્ટ પરમાણુઓ ડોપન્ટ છે.

**14.2** *p*-પ્રકારના સેમિકન્ડક્ટર માટે સ્વાધ્યાય 14.1માં આપેલ કયા વિધાન સત્ય છે ?

**14.3** કાર્બન, સિલિકોન અને જર્મનિયમ દરેકને ચાર વેલેન્સ ઈલેક્ટ્રોન હોય છે. તેમને અનુક્રમે

$(E_g)_C$ ,  $(E_g)_{Si}$  અને  $(E_g)_{Ge}$  જેટલા ઊર્જા બેન્ડ ગેપ વડે છુટા પાડતા વેલેન્સ અને કન્ડક્ષન બેન્ડ વડે દર્શાવવામાં આવે છે. નીચેનામાંથી ક્યું વિધાન સત્ય છે ?

- (a)  $(E_g)_{Si} < (E_g)_{Ge} < (E_g)_C$
- (b)  $(E_g)_C < (E_g)_{Ge} > (E_g)_{Si}$
- (c)  $(E_g)_C > (E_g)_{Si} > (E_g)_{Ge}$
- (d)  $(E_g)_C = (E_g)_{Si} = (E_g)_{Ge}$

**14.4** બાયસિંગ કર્યા વગરના *p-n* જંકશનમાં, હોલ *p*-વિસ્તારમાંથી *n*-વિસ્તારમાં વિસરણ (Diffuse) પામે છે કારણ કે,

- (a) *n*-વિસ્તારના મુક્ત ઈલેક્ટ્રોન તેમને આકર્ષ છે.
- (b) તેઓ સ્થિતિમાન તફાવતના કારણે જંકશનમાં થઈને ગતિ કરે છે.
- (c) *p*-વિસ્તારમાં હોલની સંખ્યા-ઘનતા *n*-વિસ્તાર કરતાં વધુ હોય છે.
- (d) ઉપરના બધા.

**14.5** જ્યારે *p-n* જંકશનને ફોરવર્ડ બાયસ આપવામાં આવે, ત્યારે તે

- (a) પોટેન્શિયલ બેરિયર (ની ઊંચાઈ) વધારે છે.
- (b) બહુમતી વાહકોનો પ્રવાહ ઘટાડીને શૂન્ય કરે છે.
- (c) પોટેન્શિયલ બેરિયર (ની ઊંચાઈ) ઘટાડે છે.
- (d) ઉપરનામાંથી એકપણ નહીં.

**14.6** અર્ધ તરંગ રેકૉટફિકેશનમાં ઈનપુટ આવૃત્તિ 50 Hz હોય તો આઉટપુટ આવૃત્તિ કેટલી હશે ? આ જ ઈનપુટ આવૃત્તિ માટે પૂર્ણ તરંગ રેકૉટફાયરની આઉટપુટ આવૃત્તિ કેટલી હશે ?

**14.7** 2.8 eVની બેન્ડ ગેપ ધરાવતા સેમીકન્ડક્ટરમાંથી *p-n* ફોટો ડાયોડ બનાવેલ છે. શું તે 6000 nmની તરંગલંબાઈની પરખ (Detect) કરી શકશે ?

## વધારાના સ્વાધ્યાય

**14.8** એક  $m^3$  દીઠ સિલિકોનના પરમાણુઓની સંખ્યા  $5 \times 10^{28}$  છે. તેને એક જ સમયે (એક સાથે) આર્સનિકના  $5 \times 10^{22}$  પરમાણુ/ $m^3$  અને ઇન્ડિયમના  $5 \times 10^{20}$  પરમાણુ/ $m^3$  વડે ટોપિંગ કરવામાં આવે છે. ઈલેક્ટ્રોન અને હોલની સંખ્યા ગણો. આપેલ છે કે  $n_i = 1.5 \times 10^{16}/m^3$ . આ દવ્ય  $n$ -પ્રકારનું કે  $p$ -પ્રકારનું હશે?

**14.9** ઇન્દ્રિન્જિક (શુદ્ધ) સેમીકન્ટકટરમાં ઊર્જા તફાવત  $E_g = 1.2 \text{ eV}$  છે. તેની હોલ ગતિશીલતા, ઈલેક્ટ્રોનની ગતિશીલતા (Mobility) કરતાં ઘણી ઓછી છે અને તે તાપમાન પર આધારિત નથી. તો 600 K અને 300 K તાપમાને તેની વાહકતાનો ગુણોત્તર કેટલો હશે? શુદ્ધ (ઇન્દ્રિન્જિક) વાહકની સંખ્યા ઘનતા માનો તાપમાન પરનો આધાર, સમીકરણ

$$n_i = n_0 \exp\left(-\frac{E_g}{2k_B T}\right) \quad \text{વડે અપાય છે તેમ ધારો.}$$

અહીંથી,  $n_0$  એ અચળાંક છે.

**14.10**  $p-n$  જંકશન ડાયોડમાં, પ્રવાહ Iનું સમીકરણ આ મુજબ છે :

$$I = I_0 \exp\left(\frac{eV}{2k_B T} - 1\right)$$

જ્યાં,  $I_0$  ને રિવર્સ સેચ્યુરેશન પ્રવાહ કહે છે, V એ ડાયોડના છેડાઓ વચ્ચે લાગતો વોલ્ટેજ છે. જે ફોર્વર્ડ બાયસ માટે ધન અને રિવર્સ બાયસ માટે ઋષ છે, તથા I એ ડાયોડમાંથી પસાર થતો પ્રવાહ,  $k_B$  બોલ્ટઝમાન અચળાંક ( $8.6 \times 10^{-5} \text{ eV/K}$ ) અને T નિરપેક્ષ તાપમાન છે. જો આપેલ ડાયોડ માટે  $I_0 = 5 \times 10^{-12} \text{ A}$  અને T = 300 K હોય, તો

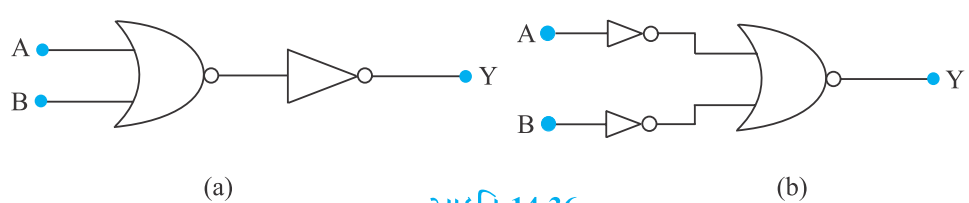
(a) 0.6 V જેટલા ફોર્વર્ડ વોલ્ટેજ માટે ફોર્વર્ડ પ્રવાહ કેટલો હશે?

(b) જો ડાયોડ પરનો વોલ્ટેજ વધારીને 0.7 V કરવામાં આવે તો તેમાંથી પસાર થતાં પ્રવાહમાં કેટલો વધારો થશે?

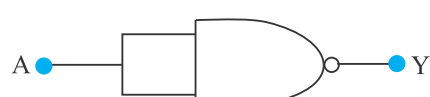
(c) ડાયનામિક ચલ (Dynamic) અવરોધ કેટલો હશે?

(d) જો રિવર્સ બાયસ વોલ્ટેજ 1 Vથી 2 V થાય તો પ્રવાહનું મૂલ્ય શોધો.

**14.11** આકૃતિ 14.36માં દર્શાવ્યા મુજબ તમને બે પરિપથ આપવામાં આવ્યા છે. દર્શાવો કે પરિપથ (a) OR ગેટ તરીકે અને પરિપથ (b) AND ગેટ તરીકે કામ કરે છે.



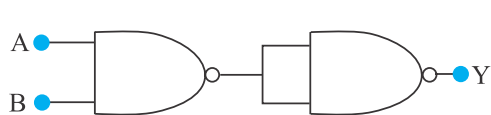
**14.12** આકૃતિ 14.37માં દર્શાવ્યા મુજબ જેડેલ NAND ગેટના પરિપથ માટે ટુથ ટેબલ લખો.



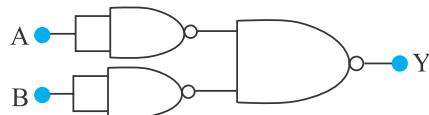
આકૃતિ 14.37

આ પરથી આ પરિપથ વડે થતું ચોક્કસ લોજિક કાર્ય (Operation) જણાવો.

- 14.13 આકૃતિ 14.38માં દર્શાવ્યા મુજબ તમને NAND ગેટના બનેલા બે પરિપથ આપવામાં આવ્યા છે. આ બંને પરિપથો વડે થતું લોજિક ઓપરેશન નક્કી કરો.



(a)

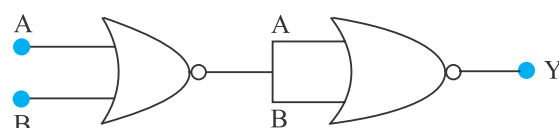


(b)

### આકૃતિ 14.38

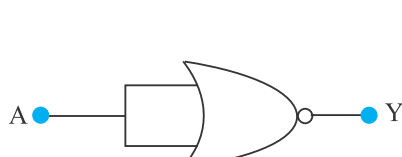
- 14.14 NOR ગેટનો ઉપયોગ કરીને બનેલા નીચેની આકૃતિ 14.39માં આપેલ પરિપથ માટે ટુથ ટેબલ લખો અને આ પરિપથ કયું લોજિક ઓપરેશન (OR, AND, NOT) કરે છે તે નક્કી કરો.

(Hint : જો  $A = 0, B = 1$  તો બીજા NOR ગેટના A અને B ઇનપુટ 0 હશે અને તેથી  $Y = 1$ . તે જ રીતે A અને Bના બીજા મૂલ્યો માટે Yના મૂલ્યો શોધો. આ ટુથ ટેબલને OR, AND, NOT ગેટના ટુથ ટેબલ સાથે સરખાવો અને સાચો જવાબ શોધો).

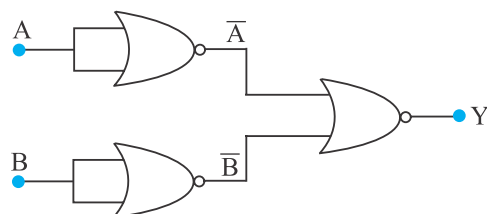


### આકૃતિ 14.39

- 14.15 માત્ર NOR ગેટનો ઉપયોગ કરીને આકૃતિ 14.40 મુજબ બનતા પરિપથો માટે ટુથ ટેબલ લખો. આ પરિપથો વડે થતા લોજિક ઓપરેશન (OR, AND, NOT) નક્કી કરો.



(a)



(b)

### આકૃતિ 14.40

## પરિશિષ્ટ (APPENDICES)

પરિશિષ્ટ A 1  
ગ્રીક આઙ્કાબેટ

આંફા (Alpha)	A	α	ન્યુ (Nu)	N	v
બીટા (Beta)	B	β	ક્સાઈ (Xi)	Ξ	ξ
ગામા (Gamma)	Γ	γ	ઓમિક્રોન (Omicron)	O	o
ડેલ્ટા (Delta)	Δ	δ	પાઇ (Pi)	Π	π
એપ્સિલોન (Epsilon)	E	ε	રૂહો (Rho)	R	ρ
ઝીટા (Zeta)	Z	ζ	સિંમા (Sigma)	Σ	σ
ઈટા (Eta)	H	η	ટાઉ (Tau)	T	τ
થીટા (Theta)	Θ	θ	અપ્સિલોન (Upsilon)	Υ	υ
આયોટા (Iota)	I	ι	ફાઈ (Phi)	Φ	ϕ, φ
કેપ્પા (Kappa)	K	κ	ઝાઈ (Chi)	X	χ
લેંડા (Lambda)	Λ	λ	સાઈ (Psi)	Ψ	ψ
મ્યુ (Mu)	M	μ	ઓમેગા (Omega)	Ω	ω

પરિશિષ્ટ A 2  
ગુણકો અને અપૂર્ણાંક ગુણકો માટે સામાન્ય SI પૂર્વગો અને પ્રતિકો

અવયવ	પૂર્વગ	પ્રતિક	અવયવ	પૂર્વગ	પ્રતિક
$10^{18}$	એકઝા (Exa)	E	$10^{-18}$	એટો (atto)	a
$10^{15}$	પેટા (Peta)	P	$10^{-15}$	ફેમ્ટો (femto)	f
$10^{12}$	ટેરા (Tera)	T	$10^{-12}$	પિકો (pico)	p
$10^9$	ગિગા (Giga)	G	$10^{-9}$	નેનો (nano)	n
$10^6$	મેગા (Mega)	M	$10^{-6}$	માઇક્રો (micro)	μ
$10^3$	કિલો (kilo)	k	$10^{-3}$	મિલી (milli)	m
$10^2$	હેક્ટો (Hecto)	h	$10^{-2}$	સેન્ટી (centi)	c
$10^1$	ડેકા (Deca)	da	$10^{-1}$	ડેચી (deci)	d

## પરિશિષ્ટ A 3

### કેટલાક અગત્યના અચળાંકો

નામ	પ્રતિક	મૂલ્ય
શૂન્યાવકાશમાં પ્રકાશની ઝડપ	$c$	$2.9979 \times 10^8 \text{ m s}^{-1}$
ઈલેક્ટ્રોનનો વિદ્યુતભાર	$e$	$1.602 \times 10^{-19} \text{ C}$
ગુરુત્વાકર્ષણ અચળાંક	$G$	$6.673 \times 10^{-11} \text{ N m}^2 \text{ kg}^{-2}$
ખાન્ક અચળાંક	$h$	$6.626 \times 10^{-34} \text{ J s}$
બોલ્ટાજ્મેન અચળાંક	$k$	$1.381 \times 10^{-23} \text{ J K}^{-1}$
એવોગ્ઝ્રો અંક	$N_A$	$6.022 \times 10^{23} \text{ mol}^{-1}$
સાર્વત્રિક વાયુ-અચળાંક	$R$	$8.314 \text{ J mol}^{-1} \text{ K}^{-1}$
ઈલેક્ટ્રોનનું દળ	$m_e$	$9.110 \times 10^{-31} \text{ kg}$
ન્યૂટ્રોનનું દળ	$m_n$	$1.675 \times 10^{-27} \text{ kg}$
પ્રોટોનનું દળ	$m_p$	$1.673 \times 10^{-27} \text{ kg}$
ઈલેક્ટ્રોનના વિદ્યુતભાર અને દળનો ગુણોત્તર	$e/m_e$	$1.759 \times 10^{11} \text{ C/kg}$
ફેરેડ અચળાંક	$F$	$9.648 \times 10^4 \text{ C/mol}$
રીહબર્ગ અચળાંક	$R$	$1.097 \times 10^7 \text{ m}^{-1}$
બોહર ત્રિજ્યા	$a_0$	$5.292 \times 10^{-11} \text{ m}$
સ્ટીફન-બોલ્ટાજ્મેન અચળાંક	$\sigma$	$5.670 \times 10^{-8} \text{ W m}^{-2} \text{ K}^{-4}$
વીનનો અચળાંક	$b$	$2.898 \times 10^{-3} \text{ m K}$
શૂન્યાવકાશનો પરાવૈદ્યુતાંક (પરમિતીવીઠી)	$\epsilon_0$	$8.854 \times 10^{-12} \text{ C}^2 \text{ N}^{-1} \text{ m}^{-2}$
	$1/4\pi\epsilon_0$	$8.987 \times 10^9 \text{ N m}^2 \text{ C}^{-2}$
શૂન્યાવકાશની પારગઘ્યતા (પરમિતેબીલીઠી)	$\mu_0$	$4\pi \times 10^{-7} \text{ T m A}^{-1}$ $\approx 1.257 \times 10^{-6} \text{ Wb A}^{-1} \text{ m}^{-1}$

### બીજા ઉપયોગી અચળાંકો

નામ	પ્રતિક	મૂલ્ય
ઉભાનો યાંત્રિક તુલ્યાંક	J	$4.186 \text{ J cal}^{-1}$
પ્રમાણભૂત વાતાવરણનું દબાણ	1 atm	$1.013 \times 10^5 \text{ Pa}$
નિરપેક્ષ શૂન્ય	0 K	$-273.15 \text{ }^\circ\text{C}$
ઈલેક્ટ્રોન વોલ્ટ	1 eV	$1.602 \times 10^{-19} \text{ J}$
યુનિફાઇડ એટોમિક માસ યુનિટ	1 u	$1.661 \times 10^{-27} \text{ kg}$
ઈલેક્ટ્રોનની સ્થિરગુર્જ	$mc^2$	0.511 MeV
I u ને સમતુલ્ય ઊર્જા	$1 uc^2$	931.5 MeV
આદર્શ વાયુનું કદ ( $0^\circ\text{C}$ અને 1 વાતા.)	V	$22.4 \text{ L mol}^{-1}$
ગુરુત્વપ્રવેગ (વિષુવવૃત્ત પાસે દરિયાની સપાટીએ)	$g$	$9.78049 \text{ m s}^{-2}$



## ભौतિકવિજ્ઞાન

### જવાબો (Answers)

#### પ્રકરણ 9

- 9.1**  $v = -54 \text{ cm}$  પ્રતિબિંબ વાસ્તવિક, ઊંધું અને મોટું. પ્રતિબિંબની ઊંચાઈ  $0.5 \text{ cm}$ , જે  $u \rightarrow f$  તો  $v \rightarrow \infty$ ,  $u < f$  માટે પ્રતિબિંબ આભાસી
- 9.2**  $v = 6.7 \text{ cm}$ , મોટવણી  $5/9$  એટલે કે પ્રતિબિંબનાં પરિમાણ  $2.5 \text{ cm}$  જે  $u \rightarrow \infty$ , તો  $v \rightarrow f$  (પરંતુ તેથી દૂર નહિ) અને  $m \rightarrow 0$
- 9.3**  $1.33; 1.7 \text{ cm}$
- 9.4**  $n_{ga} = 1.51; n_{wa} = 1.32; n_{gw} = 1.144$  જે પરથી,  
 $\sin r = 0.6181$  એટલે કે  $r \cong 38^\circ$  મળે છે.
- 9.5**  $r = 0.8 \times \tan i_c$  અને  $\sin i_c = 1/1.33 \cong 0.75$  જ્યાં  $r$ , જ્યાંથી પ્રકાશ બહાર આવે છે તે મોટામાં મોટા વર્તુળની ત્રિજ્યા ( $m$  માં) છે. અને  $i_c$  પાણી-હવાની આંતર સપાટીએ કાંતિકોષા છે, ક્ષેત્રફળ =  $2.6 \text{ m}^2$
- 9.6**  $n \cong 1.53$  અને પાણીમાં રહેલા પ્રિઝ માટે  $D_m \cong 10^\circ$
- 9.7**  $R = 22 \text{ cm}$
- 9.8** અહીં, વસ્તુ આભાસી અને પ્રતિબિંબ વાસ્તવિક છે.  $u = +12 \text{ cm}$  (વસ્તુની જમણી બાજુએ છે, આભાસી)  
(a)  $f = 20 \text{ cm}$ , પ્રતિબિંબ વાસ્તવિક અને લેન્સથી  $7.5 \text{ cm}$  અંતરે તેની જમણી બાજુએ છે.  
(b)  $f = -16 \text{ cm}$ , પ્રતિબિંબ વાસ્તવિક અને લેન્સથી  $48 \text{ cm}$  અંતરે તેની જમણી બાજુએ છે.
- 9.9**  $v = 8.4 \text{ cm}$ , પ્રતિબિંબ આભાસી અને સીધું (ચંતું) છે. તેનાં પરિમાણ  $1.8 \text{ cm}$  સુધી ઘટેલા છે. જેમ  $u \rightarrow \infty$ ,  $v \rightarrow f$  (પરંતુ નીચે દૂર નહિ, જે કે  $m \rightarrow 0$ ) નોંધો કે અંતર્ગ૊ળ લેન્સનાં મુખ્યકેન્દ્ર (21 cm)પર મૂકૃતાં પ્રતિબિંબ  $10.5 \text{ cm}$  પર મળે છે. (કોઈ ભુલથી વિચારે કે અનંત અંતરે છે તેમ નહિ.)
- 9.10**  $60 \text{ cm}$  કેન્દ્રલંબાઈવાળો અપસારી લેન્સ.
- 9.11** (a)  $v_e = -25 \text{ cm}$  અને  $f_e = 6.25 \text{ cm}$  પરથી  $u_e = -5 \text{ cm}; v_0 = (15 - 5) \text{ cm} = 10 \text{ cm}; f_0 = u_0 = -2.5 \text{ cm}$ , મેન્ઝિનફાઈંગ પાવર = 20  
(b)  $u_0 = -2.59 \text{ cm}$ , મેન્ઝિનફાઈંગ પાવર = 13.5
- 9.12**  $25 \text{ cm}$  અંતરે આવેલ પ્રતિબિંબ માટે નેત્ર કાચની કોણીય મોટવણી =  $\frac{25}{2.5} + 1 = 11$ ;  
 $|u_e| = \frac{25}{11} \text{ cm} = 2.27 \text{ cm}; v_0 = 7.2 \text{ cm}$ , અંતર =  $9.47 \text{ cm}$ , મેન્ઝિનફાઈંગ પાવર = 88

## જવાબો (Answers)

**9.13** 24; 150 cm

**9.14** (a) કોણીય મોટવજી = 1500

(b) પ્રતિબિંબનો વ્યાસ = 13.7 cm

**9.15** આપેલ સ્થિતિ માટે ઈચ્છિત પરિણામો તારવવા અરીસાનું સૂત્ર લાગુ પાડતાં,

(a)  $f < 0$  (અંતર્ગોળ અરીસો),  $u < 0$  (વસ્તુ ડાબી બાજુએ)

(b)  $f > 0, u < 0$

(c)  $f > 0$  (બહિગોળ અરીસો) અને  $u < 0$

(d)  $f < 0$  (અંતર્ગોળ અરીસો),  $f < u < 0$

**9.16** પીનની ઊંચાઈ 5 cm વધે છે. સ્પષ્ટ કિરણ રેખાકૃતિ દ્વારા જોઈ શકાય છે કે જવાબ ચોસવા (સ્લેબ) નાં સ્થાનથી સ્વતંત્ર છે (નાના આપાતકોણ માટે).

**9.17** (a)  $\sin i_c' = 1.44/1.68$  પરથી  $i_c' = 59^\circ$  મળે છે. જ્યારે  $i = 59^\circ$  અથવા  $r < r_{\max} = 31^\circ$  હોય ત્યારે પૂર્ણ આંતરિક પરાવર્તન થાય છે. હવે  $(\sin i_{\max}/\sin r_{\max}) = 1.68$ . જે પરથી  $i_m \approx 60^\circ$ . આમ, આપાત થતા બધા જ કિરણો કે જેનાં આપાતકોણનો વિસ્તાર  $0 < i < 60^\circ$  છે, તે બધા જ પાઈપમાં પૂર્ણ આંતરિક પરાવર્તન પામશે. (પાઈપની લંબાઈ પરિમિત હોય (વહારમાં આવું હોય છે) તો  $i$  નું કંઈક લઘુત્તમ સિમાંત મૂલ્ય હોય છે, જે પાઈપનાં વ્યાસ અને લંબાઈનાં ગુણોત્તર દ્વારા મેળવી શકાય છે.)

(b) પાઈપનાં બહારના ભાગ પર કોઈ જ આવરણ ચદાવેલ ન હોય; તો,  $i_c' = \sin^{-1}(1/1.68) = 36.5^\circ$ . હવે,  $i = 90^\circ$  પરથી  $r = 36.5^\circ$  અને  $i' = 53.5^\circ$  જે  $i_c'$  કરતાં મોટું મૂલ્ય છે. આમ, બધા જ આપાત કિરણો (જેનાં આપાતકોણનો વિસ્તાર  $53.5^\circ < i < 90^\circ$ ) પૂર્ણ આંતરિક પરાવર્તન અનુભવશે.

**9.18** (a) સમતલ અથવા બહિગોળ અરીસાની પાછળ કોઈ એક બિંદુએ અભિસારિત થતાં કિરણો અરીસાની સામે કે પડા પર કોઈ એક બિંદુ પર પરાવર્તન પામે છે. બીજા શબ્દોમાં જો વસ્તુ આભાસી હોય તો સમતલ અથવા બહિગોળ અરીસા વડે વાસ્તવિક પ્રતિબિંબ મેળવી શકાય. યોગ્ય કિરણ રેખાકૃતિ, આ બાબત દોરી તમારી જોતે ખાતરી કરો.

(b) જ્યારે પરાવર્તિત અથવા વક્કીભૂત કિરણો અપસારી (એકબીજાથી દૂર જતા) હોય ત્યારે પ્રતિબિંબ આભાસી હોય છે. અપસારિત કિરણોને યોગ્ય અભિસારિત લેન્સ દ્વારા પડા પર કેન્દ્રિત કરી શકાય છે. આંખનો બહિગોળ લેન્સ આવું જ કરે છે. અહીં, આભાસી પ્રતિબિંબ લેન્સ માટે વસ્તુ તરીકે વર્ત છે, જેથી વાસ્તવિક પ્રતિબિંબ રચે છે. નોંધો કે અહીં આભાસી પ્રતિબિંબનાં સ્થાને પડ્દોરહેલ નથી. અહીં કોઈ વિરોધાભાસ નથી.

(c) ઊંચું.

(d) ગાંસી નજરે જોતાં મળતી આભાસી ઊંડાઈ, લંબની નજીકીની જોતાં મળતી ઊંચાઈ કરતાં ઓછી હોય છે. આ બાબતની તમે જોતે ચકાસણી અવલોકનકારની જુદી-જુદી સ્થિતિ માટેની કિરણ રેખાકૃતિ દોરીને કરી શકો છો.

(e) સામાન્ય કાચનાં વક્કીભવનાંક (1.5) કરતાં હીરાનો વક્કીભવનાંક (2.42) ઘણો વધુ છે. હીરા માટે કાંતિકોણ ( $24^\circ$ ) કાચ માટેના કાંતિકોણ કરતાં ઘણો ઓછો છે. કુશળ હીરાના કારીગરો (હીરામાં) આપાતકોણની વિશાળ શ્રેણી ( $24^\circ$  થી  $90^\circ$ ) તૈયાર કરે છે. જેથી હીરામાં પ્રવેશતો પ્રકાશ બહાર નીકળતાં પહેલાં ઘણી બધી સપાટીઓ પરથી પૂર્ણ આંતરિક પરાવર્તન અનુભવે છે. આમ, હીરો ઝગારા મારતી (sparkling) અસર દર્શાવે છે.

**9.19** વસ્તુ અને પડા વચ્ચેનાં નિશ્ચિત અંતર  $d$  માટે જો  $f$  નું મૂલ્ય  $d/4$  કરતાં મોટું હોય તો લેન્સ સમીકરણ  $u$  અથવા  $v$  નો સાચો ઉકેલ આપી શકતું નથી. તેથી,  $f_{\max} = 0.75$  m

**9.20** 21.4 cm

**9.21 (a) (i)** ધારોકે ધારોકે પ્રથમ બહિગોળ લેન્સ પર તેની ડાબી તરફથી સમાંતર કિરણ જૂથ આપાત થાય છે.  $f_1 = 30 \text{ cm}$  અને  $u_1 = -\infty$ ,  $v_1 = 30 \text{ cm}$ . આ પ્રતિબિંબ બીજા લેન્સ માટે આભાસી વસ્તુ બને છે.  $f_2 = -20 \text{ cm}$ ,  $u_2 = +(30 - 8) \text{ cm} = +22 \text{ cm}$  તે પરથી  $v_2 = -220 \text{ cm}$ . બે લેન્સથી બનેલા તંત્રનાં કેન્દ્રથી  $216 \text{ cm}$  અંતરે આપાત સમાંતર કિરણ જૂથ અપસારિત (ફેલાતું) લાગે છે.

(ii) ધારો કે પ્રથમ અંતગોળ લેન્સની ડાબી બાજુએથી તેનાં પર સમાંતર કિરણ જૂથ આપાત થાય છે.

$f_1 = -20 \text{ cm}$ ,  $u_1 = -\infty$  જે પરથી  $v_1 = -30 \text{ cm}$  મળશે. આ પ્રતિબિંબ બીજા લેન્સ માટે વાસ્તવિક વસ્તુ બને છે,  $f_2 = +30 \text{ cm}$ ,  $u_2 = -(20 + 8) \text{ cm} = -28 \text{ cm}$ , જે પરથી  $v_2 = -420 \text{ cm}$  મળશે. બે લેન્સથી બનેલા તંત્રનાં કેન્દ્રથી ડાબી બાજુ  $416 \text{ cm}$  અંતરે આપાત સમાંતર કિરણ જૂથ અપસારિત (ફેલાતું) લાગે છે.

સ્પષ્ટ છે કે લેન્સથી બનેલા તંત્ર પર આપાત સમાંતર કિરણ જૂથ કઈ બાજુએથી આપાત થાય છે. તે પર જવાબનો આધાર છે. વધુમાં આપણી પાસે તંત્રનાં ચોક્કસ અચળાંક ( $f_1$ ,  $f_2$  અને બે લેન્સ વચ્ચેનાં અંતર વડે નક્કી થતો અચળાંક) નાં પદમાં બધા  $\beta u$  (અને  $v$ ) માટે સાચું હોય તેવું સરળ લેન્સ સમીકરણ નથી. આ તંત્ર માટે અસરકારક કેન્દ્રલંબાઈનો ખ્યાલ અર્થસબર જણાતો નથી.

(b)  $u_1 = -40 \text{ cm}$ ,  $f_1 = 30 \text{ cm}$  પરથી  $v_2 = 120 \text{ cm}$  પ્રથમ (બહિગોળ) લેન્સને કારણે મોટવણીનું માન 3 છે.

$$u_2 = +(120 - 8) \text{ cm} = +112 \text{ cm} \quad (\text{વસ્તુ આભાસી});$$

$$f_2 = -20 \text{ cm} \quad \text{જે પરથી} \quad v_2 = \frac{-112 \times 20}{92} \text{ cm}$$

બીજા (અંતગોળ) લેન્સને કારણે મોટવણીનું માન =  $20/92$ .

કુલ મોટવણીનું માન = 0.652

પ્રતિબિંબનું પરિમાણ = 0.98 cm

**9.22** જો પ્રિઝમમાં વકીભવન પામતું કિરણ તેની બીજી સપાઠી પર  $i_c$  જેટલા કાંતિકોણો આપાત થતું હોય તો પ્રથમ સપાઠીએ વકીભૂત કોણ  $r = (60^\circ - i_c^\circ)$  હવે,  $i_c = \sin^{-1}[1/1.524] \approx 41^\circ$  માટે  $r = 19^\circ$ ,  $\sin i = 0.4962$ ;  $i \approx 30^\circ$

**9.23 (a)**  $\frac{1}{v} + \frac{1}{9} = \frac{1}{10}$  એટલેકે,  $v = -90 \text{ cm}$

મોટવણીનું માન =  $90/9 = 10$

આભાસી પ્રતિબિંબમાં દરેક ચોરસનું ક્ષેત્રફળ =  $10 \times 10 \times 1 \text{ mm}^2 = 100 \text{ mm}^2 = 1 \text{ cm}^2$

(b) મેઝિનફાઈંગ પાવર =  $25/9 = 2.8$

(c) ના, પ્રકાશીય ઉપકરણો માટે લેન્સ વડે પ્રતિબિંબની મોટવણી અને કોઇપી મોટવણી (અથવા મેઝિનફાઈંગ પાવર) બે જુદી બાબતો છે. આમાંનું બીજું (કોઇપી મોટવણી) એ વસ્તુનું કોણીય માપ (જે પ્રતિબિંબ વિવરિત થયેલું હોય તો પણ પ્રતિબિંબના કોઇપી માપ જેટલું છે) અને વસ્તુને નજીક બિંદુએ (25 cm) મૂકીએ ત્યારે વસ્તુનું કોઇપી માપ એ બે નો ગુણોત્તર છે. આમ, મોટવણીનું માન  $|v/u|$  છે અને મેઝિનફાઈંગ પાવર  $(25/|v|)$  છે. પ્રતિબિંબ જ્યારે નજીકબિંદુએ રચાતું હોય  $|v| = 25 \text{ cm}$ , માત્ર એ સ્થિતિમાં જ બંને રાશિઓ સમાન હોય છે.

## જવાબો (Answers)

**9.24** (a) જ્યારે પ્રતિબિંબ નજીકતમ બિંદુ (25 cm) પર હોય ત્યારે મહત્તમ મેન્જિનફાઈંગ પાવર મળે

$$\text{છ. } u = -7.14 \text{ cm}$$

$$(b) \text{ મોટવણીનું માન} = (25/|u|) = 3.5$$

$$(c) \text{ મેન્જિનફાઈંગ પાવર} = 3.5$$

હા, મોટવણીનું માન અને મેન્જિનફાઈંગ પાવર (જ્યારે પ્રતિબિંબ 25 cm અંતરે રચાય ત્યારે) સમાન હોય છે.

**9.25** મોટવણી  $= \sqrt{6.25/1} = 2.5$

$$v = +2.5 u$$

$$+ \frac{1}{2.5u} - \frac{1}{u} = \frac{1}{10}$$

$$\text{એટલે કે, } u = -6 \text{ cm } |v| = 15 \text{ cm}$$

આભાસી પ્રતિબિંબ સામાન્ય નજીકતમ બિંદુ (25 cm)-ની નજીક છે અને આંખ વડે સ્પષ્ટ રીતે જોઈ શકાશે નહિં.

**9.26** (a) પ્રતિબિંબનું નિરપેક્ષ પરિમાણ વસ્તુનાં પરિમાણ કરતાં મોટું હોવા છતાં પ્રતિબિંબનું કોણીય પરિમાણ વસ્તુના કોણીય પરિમાણ જેટલું છે. મેન્જિનફાઈર નીચે મુજબ મદદ કરે છે, તેના વગર વસ્તુને 25 cm-ની નજીક મુકી શકાશે નહિં. તેની મદદથી જ વસ્તુને ઘણી નજીક મુકી શકાશે. નજીક મુકેલી વસ્તુનું કોણીય માપ તે જ વસ્તુને 25 cm અંતરે મૂકતાં મળતાં કોણીય પરિમાણ કરતાં વધુ હશે. આ અર્થમાં કોણીય મોટવણી મેળવી શકાય છે.

(b) હા, તે થોડુંક ઘટશે. કારણકે લેન્સ સાથે આંતરાતાં ખૂણા કરતાં આંખ સાથે આંતરાતો ખૂણો થોડોક ઓછો હોય છે. જો પ્રતિબિંબ ખૂબ મોટા અંતરે રચાતું હોય તો આ અસરોને અવગાણી શકાય છે. (નોંધ: જ્યારે લેન્સથી આંખ દૂર હોય ત્યારે પ્રથમ વસ્તુ વડે અને તેના પ્રતિબિંબ વડે આંખ સાથે આંતરાતા ખૂણા સમાન હોતા નથી.)

(c) નાની કેન્દ્રલંબાઈવાળા લેન્સનું સંયોજન સરળ નથી. વધુ અગત્યનું તે છે કે, જો તમે કેન્દ્રલંબાઈ ઘટાડો છો તો તો લેન્સની બંને ક્ષતિઓ (ગોળીય અને વર્ણની) વધુ પ્રબળ બને છે. તેથી વ્યવહારમાં સાદા બહિગોળ લેન્સ સાથે મેન્જિનફાઈંગ પાવર 3 થી મોટો મેળવી શકતો નથી. ક્ષતિઓ સુધારેલા લેન્સ તંત્રની મદદથી આ મર્યાદા 10 ગણી કે તેનાથી વધુ કરી શકાય છે.

(d) જો  $f_e$  નાની હોય તો નેત્રકાચની કોણીય મોટવણી  $[(25/f_e) + 1] (f_e \text{ cm})$  છે, તે

$$f_e \text{ નાનું } \text{હોય તો વધે } \text{ છે. } \text{ વધુમાં ઓઝેક્ટિવની \text{ મોટવણી } \frac{v_0}{|u_0|} = \frac{1}{(|u_0|/f_0) - 1} \text{ વડે આપી શકાય છે.}$$

જ્યારે  $f_0$  કરતાં  $|u_0|$  સ્ફેર મોટો હોય ત્યારે તે મોટી હોય છે. પાસપાસે રહેલી વસ્તુઓને જોવા માટે માઈક્રોસ્કોપનો ઉપયોગ થાય છે. તેથી  $|u_0|$  નાનું છે અને તેથી  $f_0$  પણ.

(e) આઈ-પિસમાં ઓઝેક્ટિવનું પ્રતિબિંબ આઈ-રોંગ તરીકે ઓળખાય છે. વસ્તુમાંથી આવતા તમામ કિરણો ઓઝેક્ટિવમાંથી વકીબવન પામી આઈ-રોંગમાંથી પસાર થાય છે. આથી, આંખ દ્વારા નિહાળવાનું આ એક આર્દ્ધ સ્થાન છે. જો આપણે આપણી આંખો આઈ-પીસની ખૂબ નજીક રાખીએ છીએ તો આપણે વધુ પ્રકાશ મેળવી શકતા નથી અને જોવા માટેનું ક્ષેત્ર પણ ઘટે છે. જો આપણે આપણી આંખ આઈ-રોંગ પર અને આપણી આંખની

## ભौतિકવિજ્ઞાન

કીકીનું કોગફળ આઈરોગ જેટલું કે તેનાથી મોટું રહે તેમ ગોઠવીએ તો ઓઝેક્ટિવ પરથી વકીભવન પામતા તમામ કિરણો આપણી આંખ મેળવે છે. ઓઝેક્ટિવ અને આઈ-પીસ વચ્ચેનાં અંતર પર આઈ-રોગના સચોટ સ્થાનનો આધાર છે. જ્યારે માઈક્રોસ્કોપનાં એક છેડે તમે તમારી આંખ મૂકીને જુઓ છો ત્યારે આંખ અને આઈ-પીસ વચ્ચેનું આર્દ્ધ અંતર સામાન્ય રીતે સાધન (માઈક્રોસ્કોપ)ની ડિઝાઇનમાં જ તૈયાર કરેલું હોય છે.

**9.27** માઈક્રોસ્કોપ સામાન્ય ઉપયોગમાં છે તેમ ધારો, એટલે કે પ્રતિબિંબ 25 cm અંતરે છે.

$$\text{આઈપીસની કોણીય મોટવણી} = \frac{25}{5} + 1 = 6$$

$$\text{ઓઝેક્ટિવની મોટવણી} = \frac{30}{6} = 5$$

$$\frac{1}{5u_0} - \frac{1}{u_0} = \frac{1}{1.25}. \text{ તે પરથી,}$$

$u_0 = -1.5 \text{ cm}$ ,  $v_0 = 7.5 \text{ cm}$ ,  $|u_e| = (25/6) \text{ cm} = 4.17 \text{ cm}$  મળે છે. ઓઝેક્ટિવ અને આઈ-પીસ વચ્ચેનું અંતર  $(7.5 + 4.17) \text{ cm} = 11.67 \text{ cm}$  હોવું જોઈએ. ઉપરાત ઈચ્છિત મોટવણી મેળવવા માટે વસ્તુને ઓઝેક્ટિવથી 1.5 cm અંતરે મૂકવી જોઈએ.

**9.28** (a)  $m = (f_0/f_e) = 28$

$$(b) \quad m = \frac{f_0}{f_e} \left[ 1 + \frac{f_0}{25} \right] = 33.6$$

**9.29** (a)  $f_0 + f_e = 145 \text{ cm}$

(b) ટાવર વડે આંતરાતો ખૂણો =  $(100/3000) = (1/30) \text{ rad.}$

$$\text{ઓઝેક્ટિવ વડે રચાતા પ્રતિબિંબ વડે આંતરાતો ખૂણો} = \frac{h}{f_0} = \frac{h}{140}$$

બંને સમીકરણો સરખાવતાં  $h = 4.7 \text{ cm}$

(c) આઈ-પીસની મોટવણી (માન) = 6. અંતિમ પ્રતિબિંબની ઊંચાઈ (માન) = 2.8 cm

**9.30** મોટા (અંતર્ગોળ) અરીસા વડે રચાતું પ્રતિબિંબ નાના (બહિર્ગોળ) અરીસા માટે આભાસી વસ્તુ તરીકે વર્તે છે. અનંત અંતરે રહેલી વસ્તુમાંથી આવતા સમાંતર કિરણો મોટા અરીસાથી 110 mm અંતરે કેન્દ્રિત થશે. નાના અરીસા માટે આભાસી વસ્તુનું અંતર =  $(110 - 20) = 90 \text{ mm.}$  નાના અરીસાની કેન્દ્રલંબાઈ 70 mm છે. અરીસાનાં સૂત્રનો ઉપયોગ કરતાં નાના અરીસાથી 315 mm અંતરે પ્રતિબિંબ રચાય છે.

**9.31** પરાવર્તિત કિરણ અરીસાનાં બ્રમણ ખૂણા કરતાં બ્રમણું વિચલન અનુભવે છે. માટે  $d/1.5 = \tan 7^\circ$ , જ્યાં  $d = 18.4 \text{ cm}$

**9.32**  $n = 1.33$

## જવાબો (Answers)

### પ્રકરણ 10

**10.1** (a) પરાવર્તિત પ્રકાશ : (તરંગલંબાઈ, આવૃત્તિ, ઝડપ આપાત પ્રકાશ જેટલી જ )

$$\lambda = 589 \text{ nm}, v = 5.09 \times 10^{14} \text{ Hz}, c = 3.00 \times 10^8 \text{ m s}^{-1}$$

(b) વકીભૂત પ્રકાશ : (આપાત પ્રકાશ જેટલી જ આવૃત્તિ)

$$v = 5.09 \times 10^{14} \text{ Hz}$$

$$v = (c/n) = 2.26 \times 10^8 \text{ m s}^{-1}, \lambda = (v/n) = 444 \text{ nm}$$

**10.2** (a) ગોળાકાર

(b) સમતલ

(c) સમતલ (ખૂબ જ મોટા ગોળાની સપાટી પરના નાના ક્ષેત્રફળને લગભગ સમતલ લઈ શકાય.)

**10.3** (a)  $2.0 \times 10^8 \text{ m s}^{-1}$

(b) ના. માધ્યમમાં વકીભવનાંક અને તેથી પ્રકાશની ઝડપ તરંગલંબાઈ ઉપર આધાર રાખે છે.

(જ્યારે કોઈ ચોક્કસ તરંગલંબાઈ કે પ્રકાશનો રંગ દર્શાવેલ ના હોય તો આપણે વકીભવનાંક પીળા પ્રકાશ માટે આપેલ છે તેમ લઈ શકીએ.) આપણે જાણીએ છીએ કે કાચના પ્રિઝમમાં જાંબલી રંગનું વિચલન લાલ (રાતા) રંગ કરતાં વધુ થાય છે, એટલે કે  $n_v > n_r$ , તેથી સફેદ પ્રકાશનો જાંબલી ઘટક, રાતા (લાલ) ઘટક કરતા ઓછી ઝડપથી ગતિ કરે છે.

$$10.4 \quad \lambda = \frac{1.2 \times 10^{-2} \times 0.28 \times 10^{-3}}{4 \times 1.4} \text{ m} = 600 \text{ nm}$$

**10.5** K/4

**10.6** (a) 1.17 mm      (b) 1.56 mm

**10.7** 0.15°

$$10.8 \quad \tan^{-1}(1.5) \approx 56.3^\circ$$

$$10.9 \quad 5000 \text{ } \text{\AA}, 6 \times 10^{14} \text{ Hz}, 45^\circ$$

**10.10** 40 m

**10.11**  $\lambda' - \lambda = \frac{v}{c} \lambda$  સૂત્રનો ઉપયોગ કરો.

$$\text{એટલે કે, } v = \frac{c}{\lambda} (\lambda' - \lambda) = \frac{3 \times 10^8 \times 15}{6563} = 6.86 \times 10^5 \text{ m s}^{-1}$$

**10.12** વકીભવનાંક માટેના કણવાદમાં, પાતળા માધ્યમમાંથી ઘટું માધ્યમમાં આપાત થતા પ્રકાશના કણો સપાટીને લંબ તરફ આકર્ષણબળ અનુભવે છે. આ વેગના લંબ ઘટકના વધારામાં પરિણમે છે, પરંતુ સપાટીને સમાંતર ઘટક બદલાતો નથી. આનો અર્થ એ થાય કે,

$$c \sin i = v \sin r \quad \text{અથવા} \quad \frac{v}{c} = \frac{\sin i}{\sin r} = n. \quad n > 1, \text{ હોવાથી } v > c.$$

આ અનુમાન એ પ્રાયોગિક અવલોકનો (v < c)થી વિરુદ્ધ છે. પ્રકાશનું તરંગ સ્વરૂપ એ પ્રયોગ સાથે સુસંગત છે.

**10.13** કેન્દ્ર આગળ બિંદુવત વસ્તુ લઈ અરીસાને સ્પર્શતું વર્તુણ દોરો. આ વસ્તુમાંથી નીકળતા અને અરીસા આગળ હમણાં જ પહોંચેલા ગોળાકાર તરંગઅગ્રનો સમતલીય ભાગ છે. પછી, આ જ તરંગઅગ્રનું અરીસાની હાજરીમાં અને અરીસાની ગેરહાજરીમાં / સમયબાદનું સ્થાન દોરો. તમને અરીસાની બંને બાજુ સંભિત રીતે રહેલ બે ચાપ (Arcs) મળશે. સરળ ભૂમિતિનો ઉપયોગ કરી, પરાવર્તિત તરંગઅગ્રનું કેન્દ્ર (વસ્તુનું પ્રતિબિંબ) વસ્તુ અરીસાથી જેટલા અંતરે છે તેટલા જ અંતરે જોવા મળે છે.

**10.14 (a)** શૂન્યાવકાશમાં પ્રકાશની ઝડપ અત્રે દર્શાવેલ બધા જ પરિબળો (મુદ્દાઓ) અને અન્ય કોઈ પણ બાબતથી સ્વતંત્ર એક સાર્વત્રિક અચળાંક છે. આશ્ર્યચકિત કરતું સત્ય એ પણ છે કે તે ઉદ્ગમ અને અવલોકનકાર વચ્ચેની સાપેક્ષ ગતિથી પણ સ્વતંત્ર છે. આ હકીકત એ આઈન્સ્ટાઇનના વિશિષ્ટ સાપેક્ષતાવાદ (Special Theory of Relativity)ની મુખ્ય પૂર્વધારણા છે.

**(b) માધ્યમમાં પ્રકાશની ઝડપનો આધાર:**

- (i) ઉદ્ગમના પ્રકાર ઉપર આધારિત નથી (તરંગ ઝડપ એ પ્રસરણ પામતા માધ્યમના ગુણધર્માંથી નક્કી થાય છે. આ બીજા પ્રકારના તરંગો માટે પણ સાચું છે, દા.ત., ધ્વનિતરંગો, પાણી પરનાં તરંગો, વગેરે)
- (ii) સમાદિગ્રધર્મમાધ્યમો માટે તે પ્રસરણ દિશાથી સ્વતંત્ર છે.
- (iii) માધ્યમની સાપેક્ષ ઉદ્ગમની ગતિથી સ્વતંત્ર હોય છે, પરંતુ માધ્યમની સાપેક્ષ અવલોકનકારની ગતિ પર આધાર રાખે છે.
- (iv) તરંગલંબાઈ ઉપર આધાર રાખે છે.
- (v) તીવ્રતાથી સ્વતંત્ર છે. (ગંધી તીવ્રતા ધરાવતા ડિરણપુંજ માટે, સ્થિતિ ખૂબ જ જટીલ હોય છે અને અહીં તે આપણને લાગુ પડતી નથી.)

**10.15** ધ્વનિતરંગોનું પ્રસરણ કરાવવા માધ્યમની જરૂર પડે છે. આમ, ભલે સ્થિતિ (i) અને (ii) સમાન સાપેક્ષ ગતિ (ઉદ્ગમ અને અવલોકનકાર વચ્ચે)ને આનુષ્ઠાંગિક હોય, પણ તે ભૌતિક રીતે સમાન નથી કારણ કે બંને સ્થિતિઓમાં માધ્યમની સાપેક્ષ અવલોકનકારની સાપેક્ષ ગતિ જુદી જુદી રીતે છે. તેથી, આપણે સ્થિતિ (i) અને (ii) માટે ધ્વનિ માટેના ડોલર (અસરના) સૂત્રો સમાન હશે તેમ અપેક્ષા ના રાખી શકીએ. શૂન્યાવકાશમાં પ્રકાશ તરંગો માટે સ્પષ્ટ જ છે કે સ્થિતિ (i) અને (ii) વચ્ચે બેદ પાડી ના શકાય. અહીં, ઉદ્ગમ અને અવલોકનકાર વચ્ચેની સાપેક્ષ ગતિ જ અગત્યની છે અને સાપેક્ષવાદીય (Relativistic) ડોલર સૂત્ર બંને સ્થિતિઓ (i) અને (ii) માટે સમાન છે. પ્રકાશના માધ્યમમાં પ્રસરણ માટે ફરીવાર ધ્વનિ તરંગોની જેમ બંને પરિસ્થિતિઓ સમાન નથી અને આપણે બે પરિસ્થિતિઓ (i) અને (ii) માટે જુદા જુદા ડોલર સૂત્રો હશે તેમ વિચારી શકીએ.

**10.16**  $3.4 \times 10^{-4} \text{ m}$

**10.17 (a)** સૂત્ર : પરિમાણ  $\sim \lambda/d$  મુજબ પરિમાણ અંધું થશે. તીવ્રતા ચારગણી વધશે.

**(b)** બે-સ્લિટની ગોઠવણીમાં વ્યતિકરણ શલાકાઓની તીવ્રતા એ દરેક સ્લિટથી મળતી વિવર્તન ભાતથી મોડ્યુલેટ (Modulated) થયેલી હોય છે.

**(c)** વર્તુળાકાર અડચણની ધાર આગળથી વિવર્તન પામતા તરંગો, પ્રકાશિત કેન્દ્ર ધરાવતા પડછાયાના કેન્દ્ર આગળ સહાયક વ્યતિકરણ અનુભવે છે.

**(d)** અડચણો/છિદ્રો આગળથી મોટા કોણે વિવર્તન પામતા કે વળતા તરંગો માટે, અડચણો/છિદ્રોનું પરિમાણ તરંગલંબાઈ જેટલું હોવું હોઈએ. જો અડચણો/છિદ્રોનું પરિમાણ તરંગલંબાઈ કરતા ધારું વધારે હોય તો વિવર્તન નાના કોણે થશે. અહીં, પરિમાણ એ અમુક મીટરના કમનું હોય છે. પ્રકાશની તરંગલંબાઈ લગભગ  $5 \times 10^{-7} \text{ m}$  છે, જ્યારે 1 kHz આવૃત્તિ ધરાવતા ધ્વનિતરંગો માટે તરંગલંબાઈ લગભગ 0.3 m જેટલી હોય છે. આમ,

## જવાબો (Answers)

- વિભાગ પાડતી ટિવાલ (Partition)ને ફરતે ધ્વનિ તરંગો વળે છે જ્યારે પ્રકાશતરંગો વળી શકતા નથી.
- (e) (d)માં દર્શાવેલ મુદ્દા અનુસાર વ્યાજબીપણું આપી શકાય. સામાન્ય વપરાશના પ્રકાશીય ઉપકરણો (Instruments)માં છિદ્રો (Aperture)ના પરિમાણ એ પ્રકાશની તરંગાલંબાઈ કરતાં ઘણાં વધારે હોય છે.
- 10.18** 12.5 cm
- 10.19** 0.2 mm
- 10.20** (a) એન્ટીના દ્વારા ગ્રહણ થતા સીધા સિંનલ અને વિમાન પરથી પરાવર્તિત (નબળા) સિંનલ વચ્ચેનું વ્યતિકરણ.
- (b) સંપાતીકરણનો સિદ્ધાંત એ તરંગ ગતિને દર્શાવતા (વિકલ) સમીકરણના રેખીયપણાના ગુણાર્થમ પરથી મળે છે. જો તરંગ સમીકરણના બે ઉકેલો  $y_1$  અને  $y_2$  હોય તો  $y_1$  અને  $y_2$ નું કોઈ પણ રેખીય સંયોજન પણ ઉકેલ બનશે. જ્યારે કંપવિસ્તાર મોટો હોય (દા.ત., ઊંચી તીવ્રતા ધરાવતું લેસર કિરણપુંજ) અને અ-રેખીય અસરો અગત્યની હોય ત્યારે પરિસ્થિતિ ખૂબ જ જટિલ હોય છે, જેની અત્રે આપણે ચિંતા કરવાની જરૂર નથી.
- 10.21** સ્લિટને  $a' = a/n$  પહેલાઈ ધરાવતી નાની  $n$  સ્લિટોમાં વહેંચી દો. કોણ  $\theta = n\lambda/a = \lambda/a'$  થશે. દરેક નાની સ્લિટો દિશામાં શૂન્ય તીવ્રતા મોકલશે. આ સંયોજન પણ શૂન્ય તીવ્રતા આપશે.

### પ્રકરણ 11

- 11.1** (a)  $7.24 \times 10^{18}$  Hz, (b) 0.041 nm
- 11.2** (a)  $0.34 \text{ eV} = 0.54 \times 10^{-19}$  J, (b) 0.34 V, (c) 344 km/s
- 11.3**  $1.5 \text{ eV} = 2.4 \times 10^{-19}$  J
- 11.4** (a)  $3.14 \times 10^{-19}$  J,  $1.05 \times 10^{-27}$  kg m/s, (b)  $3 \times 10^{16}$  photons/s, (c) 0.63 m/s
- 11.5**  $4 \times 10^{21}$  photons/m<sup>2</sup>s
- 11.6**  $6.59 \times 10^{-34}$  Js
- 11.7** (a)  $3.38 \times 10^{-19}$  J = 2.11 eV, (b)  $3.0 \times 10^{20}$  photons/s
- 11.8** 2.0 V
- 11.9** ના, કારણ કે  $v < v_0$
- 11.10**  $4.73 \times 10^{14}$  Hz
- 11.11**  $2.16 \text{ eV} = 3.46 \times 10^{-19}$  J
- 11.12** (a)  $4.04 \times 10^{-24}$  kg m s<sup>-1</sup>, (b) 0.164 nm
- 11.13** (a)  $5.92 \times 10^{-24}$  kg m s<sup>-1</sup>, (b)  $6.50 \times 10^6$  m s<sup>-1</sup>, (c) 0.112 nm
- 11.14** (a)  $6.95 \times 10^{-25}$  J = 4.34  $\mu$ eV, (b)  $3.78 \times 10^{-28}$  J = 0.236 neV
- 11.15** (a)  $1.7 \times 10^{-35}$  m, (b)  $1.1 \times 10^{-32}$  m, (c)  $3.0 \times 10^{-23}$  m
- 11.16** (a)  $6.63 \times 10^{-25}$  kg m/s (બંને માટે), (b) 1.24 keV, (c) 1.51 eV
- 11.17** (a)  $6.686 \times 10^{-21}$  J =  $4.174 \times 10^{-2}$  eV, (b) 0.145 nm
- 11.18**  $\lambda = h/p = h/(h\nu/c) = c/\nu$
- 11.19** 0.028 nm
- 11.20** (a)  $eV = (m\nu^2/2)$ -નો ઉપયોગ કરો, એટલે કે  $\nu = [(2eV/m)]^{1/2}$ ,  $\nu = 1.33 \times 10^7$  m s<sup>-1</sup>
- (b) જો આપણે  $V = 10^7$  V માટે પણ આ જ સૂત્રનો ઉપયોગ કરીએ, તો આપણને  $\nu = 1.88 \times 10^9$  m s<sup>-1</sup> મળે. આ સ્પષ્ટ રીતે ખોટું છે, કારણ કે પ્રકાશની ઝડપ ( $c = 3 \times 10^8$  m s<sup>-1</sup>) કરતાં કંઈ પણ વધુ ઝડપથી ગતિ ન કરી શકે. ખરેખર તો ગતિઉઝ્જ્વ

માટે ઉપરનું સમીકરણ ( $m v^2/2$ ), જ્યારે ( $v/c$ )  $\ll 1$  હોય ત્યારે જ સાચું છે. ખૂબ ઊંચી ઝડપ માટે જ્યારે ( $v/c$ ) એ 1ની નજીક હોય (દ્વારા પણ હંમેશા 1 થી નાનું હોય) ત્યારે આપણે સાપેક્ષવાદની નજીક આવીએ છીએ. જ્યાં, નીચેનાં સમીકરણો લાગુ પડે છે :

$$\text{સાપેક્ષ વેગમાન } p = mv$$

$$\text{કુલ ઊર્જા } E = mc^2$$

$$\text{ગતિ�ર્જા } K = m c^2 - m_0 c^2$$

જ્યાં, સાપેક્ષ દ્રવ્યમાન ‘ $m$ ’ આ મૂળ લખાય છે,  $m = m_0 \left[ 1 - \frac{v^2}{c^2} \right]^{-1/2}$ .  $m_0$ ને કણનું સ્થિર દ્રવ્યમાન (Rest Mass) કહે છે. આ સમીકરણો પરથી

$$E = (p^2 c^2 + m_0^2 c^4)^{1/2}$$

નોંધો કે સાપેક્ષ વાદના પ્રભાવક્ષેત્રમાં  $v/c$  નું મૂલ્ય 1ની નજીક હોય છે.  $K$  અથવા ઊર્જા  $\geq m_0 c^2$  (સ્થિત દ્રવ્યમાન ઊર્જા – Rest Mass Energy). ઈલેક્ટ્રોનની રેસ્ટ માસ ઊર્જા (સ્થિત દ્રવ્યમાન ઊર્જા) લગભગ 0.51 MeV છે. આમ, 10 MeV જેટલી ગતિઊર્જા ઈલેક્ટ્રોનની સ્થિત દ્રવ્યમાન ઊર્જા કરતાં ઘણી વધુ હોય છે, જે સાપેક્ષવાદનું પ્રભાવક્ષેત્ર દર્શાવે છે. સાપેક્ષવાદના સમીકરણોનો ઉપયોગ કરતાં,  $(10 \text{ MeV}) \text{ ગતિઊર્જા } \text{ માટે } v = 0.999 c$ .

**11.21** (a) 22.7 cm

(b) ના. ઉપર સમજાવ્યું તેમ, 20 MeVનો ઈલેક્ટ્રોન સાપેક્ષવાદીય ઝડપથી ગતિ કરે છે. પરિણામે, અ-સાપેક્ષવાદીય સૂત્ર  $R = (m_0 v / eB)$  લાગુ પડતું નથી. સાપેક્ષવાદીય સૂત્ર

$$R = p/eB = mv/eB \quad \text{અથવા} \quad R = m_0 v / (eB \sqrt{1 - v^2 / c^2}) \quad \text{છે.}$$

**11.22**  $eV = (m v^2/2)$  અને  $R = (m v/eB)$  છે. જેના પરથી  $(e/m) = (2V/R^2 B^2)$ , આપેલ વિગતો પરથી  $(e/m) = 1.73 \times 10^{11} \text{ C kg}^{-1}$

**11.23** (a) 27.6 keV, (b) 30 kVના કમનું.

**11.24**  $\lambda = (hc/E)$  માટે  $E = 5.1 \times 1.602 \times 10^{-10} \text{ J}$  મૂક્તાં,  $\lambda = 2.43 \times 10^{-16} \text{ m}$  મળે.

**11.25** (a)  $\lambda = 500 \text{ m}$  માટે,  $E = (hc/\lambda) = 3.98 \times 10^{-28} \text{ J}$

એક સેકન્ડ દીઠ ઉત્સર્જયેલા ફોટોન  $= 10^4 \text{ Js}^{-1} / 3.98 \times 10^{-28} \text{ J} = 3 \times 10^{31} \text{ s}^{-1}$  આપણે જોઈ શકીએ કે રેડીયો ફોટોનની ઊર્જા અતિશય ઓછી છે અને રેડીયો બીમમાં એક સેકન્ડ દીઠ ઉત્સર્જયેલા ફોટોનની સંખ્યા અતિશય મોટી છે.

આથી, આપણે (ફોટોનની) લઘૃતમ કવોનટમ ઊર્જા અવગારીએ તથા રેડીયો તરંગની કુલ ઊર્જાને સતત ધારીએ તો અવગાર્ય ત્રુટી ઉદ્ભૂત કરી શકતી છે.

(b)  $v = 6 \times 10^{14} \text{ Hz}$  માટે  $E = 4 \times 10^{-19} \text{ J}$

$$\text{લઘૃતમ તીવ્રતાને અનુરૂપ ફોટોન ફૂલક્સ} = 10^{-10} \text{ Wm}^{-2} / 4 \times 10^{-19} \text{ J}$$

$$= 2.5 \times 10^8 \text{ m}^{-2} \text{ s}^{-1}$$

અંખની કીકીમાં સેકન્ડ દીઠ દાખલ થતા ફોટોનની સંખ્યા  $= 2.5 \times 10^8 \times 0.4 \times 10^{-4} \text{ s}^{-1} = 10^4 \text{ s}^{-1}$ . આ સંખ્યા (a)માં મળી સંખ્યા જેટલી મોટી ન હોવા છતાં, આપણી આંખની ઇન્દ્રિય તેનો ‘અહેસાસ’ કે ‘ગાણતરી’ કરી ન શકે તેટલી મોટી તો છે.

**11.26**  $\phi_0 = hv - eV_0 = 6.7 \times 10^{-19} \text{ J} = 4.2 \text{ eV}; v_0 = \frac{\phi_0}{h} = 1.0 \times 10^{15} \text{ Hz}; \lambda = 6328 \text{ Å}$

$$v = 4.7 \times 10^{14} \text{ Hz} < v_0 \text{ ને અનુરૂપ છે.}$$

લેસર પ્રકાશની તીવ્રતા ગમે તેટલી વધુ હોય તો પણ ફોટો સેલ તેને માટે પ્રતિભાવ આપણે નહીં.

**11.27** બંને ઉદ્ગમ માટે  $eV_0 = hv - \phi_0$ નો ઉપયોગ કરતાં બીજા ઉદ્ગમ માટે  $V_0 = 1.50 \text{ V}$ .

## જવાબો (Answers)

**11.28**  $V_0$  વિરુદ્ધ એવો આલેખ મેળવો. આલેખનો ફાળ ( $h/e$ ) છે અને તેનું વ-અક્ષ પરનું છેદનબિંદુ  $v_0$  છે. પ્રથમ ચાર બિંદુઓ લગભગ સીધી રેખામાં છે, જે વ-અક્ષને  $v_0 = 5.0 \times 10^{14} \text{ Hz}$  (શ્રેસોટ આવૃત્તિ) એ છેદે છે. પાંચમું બિંદુ  $v < v_0$  ને અનુરૂપ છે, જ્યાં ફોટોઇલેક્ટ્રીક ઉત્સર્જન થતું નથી અને તેથી પ્રવાહને રોકવા માટે કોઈ સ્ટોપિંગ પોટેન્શિયલની જરૂર પડતી નથી. આ આલેખનો ફાળ  $4.15 \times 10^{-15} \text{ V s}^{-1}$  જેટલો મળે છે.  $e = 1.6 \times 10^{-19} \text{ C}$ ,  $h = 6.64 \times 10^{-34} \text{ Js}$  ( $h$ નું પ્રમાણભૂત મૂલ્ય  $= 6.626 \times 10^{-34} \text{ Js}$ ),  $\phi_0 = h\nu_0 = 2.11 \text{ eV}$ .

**11.29** એમ જાણવા મળે છે કે આપેલ આવૃત્તિ  $v$  એ  $v_0(\text{Na})$  અને  $v_0(\text{K})$  કરતાં મોટી છે, પરંતુ  $v_0(\text{Mo})$  અને  $v_0(\text{Ni})$  કરતાં ઓછી છે. આથી, Mo અને Ni ફોટોઇલેક્ટ્રીક ઉત્સર્જન દર્શાવશે નહીં. જો લેસરને પાસે લાવીએ તો વિકિરણની તીવ્રતા વધે છે, પરંતુ Mo અને Niને લગતા પરિણામ પર કોઈ ફરક પડતો નથી. આમ છતાં, Na અને K માટે ફોટોઇલેક્ટ્રીક પ્રવાહ તીવ્રતાના સમપ્રમાણમાં વધશે.

**11.30** એક પરમાણુ દીઠ એક વાહક ઈલેક્ટ્રોન ધારો.

$$\text{અસરકારક પરમાણ્વિક ક્ષેત્રફળ} \sim 10^{-20} \text{ m}^2$$

$$5 \text{ સ્તરોમાં ઈલેક્ટ્રોનની સંખ્યા} = \frac{5 \times 2 \times 10^{-4} \text{ m}^2}{10^{-20} \text{ m}^2} = 10^{17}$$

$$\text{આપાત પાવર} = 10^{-5} \text{ W m}^{-2} \times 2 \times 10^{-4} \text{ m}^2 = 2 \times 10^{-9} \text{ W}$$

તરંગ સ્વરૂપમાં, આપાત પાવરનું બધાં જ ઈલેક્ટ્રોન દ્વારા નિયમિત શોખણ થાય છે. પરિણામે

$$\text{ઈલેક્ટ્રોન દીઠ એક સેકન્ડમાં શોખાયેલી ઊર્જા} = 2 \times 10^{-9} / 10^{17} = 2 \times 10^{-26} \text{ W}$$

$$\text{ફોટોઇલેક્ટ્રીક ઉત્સર્જન માટે જરૂરી સમય} = 2 \times 1.6 \times 10^{-19} \text{ J} / 2 \times 10^{-26} \text{ W} = 1.6 \times 10^7 \text{ s}$$

જે લગભગ  $0.5 \text{ વર્ષ}^{-1}$  જેટલો છે.

સૂચિતાર્થ : પ્રાયોગિક રીતે, ફોટોઇલેક્ટ્રીક ઉત્સર્જન લગભગ તાત્કષિક ( $\sim 10^{-9} \text{ s}$ ) હોય છે. આથી, તરંગ સ્વરૂપ પ્રયોગ સાથે સંમતિ દર્શાવતું નથી.

ફોટોન સ્વરૂપમાં, વિકિરણની ઊર્જા ઉપરના સત્ત્રોમાં રહેલા ઈલેક્ટ્રોનો વચ્ચે સતત વહેંચાયેલી હોતી નથી. પરંતુ, ઊર્જા છુટક (ગ્રુટક) જથ્થા (કવોન્ટમ)ના રૂપમાં આવે છે અને ઊર્જાનું શોખણ ધીમે ધીમે થતું નથી. ઈલેક્ટ્રોન વડે ફોટોન કાં તો તાત્કષિક શોખાતો નથી, અથવા શોખાય છે.

**11.31**  $\lambda = 1 \text{ \AA}$  માટે, ઈલેક્ટ્રોનની ઊર્જા  $= 150 \text{ eV}$ , ફોટોનની ઊર્જા  $= 12.4 \text{ keV}$ . આમ, એક સમાન તરંગલંબાઈ માટે, ફોટોનની ઊર્જા, ઈલેક્ટ્રોન કરતાં ઘણી વધુ હોય છે.

**11.32 (a)**  $\lambda = \frac{h}{p} = \frac{h}{\sqrt{2mK}}$  આમ, સમાન K માટે,  $m$  સાથે  $(1/\sqrt{m})$ ના સમપ્રમાણમાં  $\lambda$  ઘટે છે. હવે  $(m_n/m_e) = 1838.6$ . આથી, એક સમાન ઊર્જા માટે, સ્વાધ્યાય 11.31 મુજબ એક સમાન ઊર્જા ( $150 \text{ eV}$ ), માટે ન્યુટ્રોનની તરંગલંબાઈ  $= (1/\sqrt{1838.6}) \times 10^{-10} \text{ m} = 2.33 \times 10^{-12} \text{ m}$ . સાથે આંતર પરમાણ્વિક અંતર લગભગ સો ગણું વધુ હોય છે. આથી,  $150 \text{ eV}$ નું ન્યુટ્રોન બીમ વિવર્તનના પ્રયોગો માટે યોગ્ય નથી.

## ભौतિકવિજ્ઞાન

(b)  $\lambda = 1.45 \times 10^{-10} \text{ m}$  [ $\lambda = (h / \sqrt{3 m k T})$  નો ઉપયોગ કરો.] જે સ્ફટિકના આતર પરમાણુક અંતર સાથે સરખાવી શકાય તેવું છે.

ઉપરના (a) અને (b) પરથી સ્પષ્ટ છે કે, વિવર્તનના પ્રયોગો તપાસકર્તા (probe, શોધક) માટે થર્મલ ન્યુટ્રોન યોગ્ય છે. આથી, ઊર્જાના ન્યુટ્રોન બીમનો વિવર્તન માટે ઉપયોગ કરતા પહેલાં તેને થર્મલ ન્યુટ્રોનમાં ફેરવવા જોઈએ.

$$11.33 \lambda = 5.5 \times 10^{-12} \text{ m}$$

$$\lambda (\text{પીળા પ્રકાશ માટે}) = 5.9 \times 10^{-7} \text{ m}$$

વિભેદન શક્તિ (Resolving Power-RP) તરંગલંબાઈના વસ્તુ પ્રમાણમાં હોય છે. આથી, ઈલેક્ટ્રોન માઈક્રોસ્કોપનો RP, દશ્યપ્રકાશ માઈક્રોસ્કોપ કરતાં  $10^5$  ગણો હોય છે. વ્યવહારમાં બીજા ઘટકોના તફાવતો (ભૌમિતિક) આ સરખામણી થોડીક બદલી શકે.

$$11.34 p = \frac{h}{\lambda} = \frac{6.63 \times 10^{-34} \text{ Js}}{10^{-15} \text{ m}} = 6.63 \times 10^{-19} \text{ kg m s}^{-1}$$

ઊર્જા માટે સાપેક્ષવાદના સમીકરણનો ઉપયોગ કરો.

$$\begin{aligned} E^2 &= c^2 p^2 + m_0^2 c^4 \\ &= 9 \times (6.63)^2 \times 10^{-22} + (0.511 \times 1.6)^2 \times 10^{-26} \\ &\approx 9 \times (6.63)^2 \times 10^{-22} \end{aligned}$$

અહીંથી બીજું પદ (સ્થિર દ્રવ્યમાન ઊર્જા) અવગાજી શકાય તેમ છે.

$$\text{આથી, } E = 1.989 \times 10^{-10} \text{ J} = 1.24 \text{ BeV}$$

આથી, પ્રવેગકમાંથી મળતા ઈલેક્ટ્રોનની ઊર્જા અમૃક BeVના કમની હોવી જોઈએ.

$$11.35 \lambda = \frac{h}{\sqrt{3 m k T}} ; m_{\text{He}} = \frac{4 \times 10^3}{6 \times 10^{23}} \text{ kg}$$

$$\text{આ પરથી, } \lambda = 0.73 \times 10^{-10} \text{ m.}$$

$$\text{સરેરાશ અંતર } r = (V/N)^{1/3} = (kT/p)^{1/3}$$

$$T = 300 \text{ K}, p = 1.01 \times 10^5 \text{ Pa} \text{ માટે, } r = 3.4 \times 10^{-9} \text{ m. આથી, } r \gg \lambda \text{ મળે છે.}$$

11.36 સ્વાધ્યાય 11.35 જેવા જ સૂત્રનો ઉપયોગ કરતાં,  $\lambda = 6.2 \times 10^{-9} \text{ m}$  મળે છે. જે ઈલેક્ટ્રોન વચ્ચેના આંતરિક અંતરો કરતાં ધાર્શન વધુ છે.

11.37 (a) કવાર્કસ જાણે કે પ્રોટોન કે ન્યુટ્રોનમાં એવા બળો વડે બંધિત માનવામાં આવ્યા છે કે, જેમને જુદા કરવાનો પ્રયત્ન કરતાં આ બળ વધે છે. આથી, એમ લાગે છે કે અપૂર્ણાંક વિદ્યુતભારો કુદરતમાં હાજર હોવા છતાં અનુભવી શકાય એવા વિદ્યુતભારો એના પૂર્ણાંકમાં હોય છે.

(b) વિદ્યુત અને ચુંબકીય ક્ષેત્રો માટેના બંને મૂળભૂત સમીકરણો અનુક્રમે  $eV = (1/2) mv^2$  અથવા  $eE = ma$  અને  $eBV = mv^2/r$  દર્શાવે છે કે ઈલેક્ટ્રોનનું ગતિશારત્રે ફક્ત  $e$  અને  $m$  વડે સ્વતંત્ર રીતે નહીં, પરંતુ  $e/m$  સંયોજન વડે નક્કી થાય છે.

(c) નીચા દબાણો આપનોને તેમના અનુરૂપ ઈલેક્ટ્રોડ સુધી પહોંચવાનો અને પ્રવાહ રચવાનો મોકો મળે છે. સામાન્ય દબાણો, વાયુના અણુઓ સાથની અથડામણો અને સંયોજન થવાથી તેમને આમ કરવાનો મોકો મળતો નથી.

(d) કાર્યવિધ્ય, ધાતુમાં વાહક (conduction) બેન્ડના ઉચ્ચતમ સ્તરમાં રહેલા ઈલેક્ટ્રોનને ધાતુમણી બહાર કાઢવા માટે જરૂરી લઘુત્તમ ઊર્જા દર્શાવે છે. ધાતુમાં બધા જ ઈલેક્ટ્રોન આ ઉચ્ચતમ (�ર્જા) સ્તરમાં હોતા નથી. તેઓ (�ર્જા) સ્તરોના સતત પદ્ધતિ (band)માં હોય છે. પરિણામે આપેલ આપાત વિકિરણ માટે જુદા જુદા સત્તરોમાંથી બહાર નીકળેલા ઈલેક્ટ્રોનોની ઊર્જા જુદી જુદી હોય છે.

(e) કોઈપણ કણની નિરપેક્ષ ઊર્જા  $E$  (પણ વેગમાન  $p$  નહીં)નું મૂલ્ય, કોઈ ઉમેરી શકાય તેવા અચળાંકની અંદર યાદચિક હોય છે. આથી, અનુભૂતિક મહત્વ હોવા છતાં ઈલેક્ટ્રોનના દ્રવ્ય તરંગ માટે  $v$  નું નિરપેક્ષ મૂલ્ય પ્રત્યક્ષ રીતે કોઈ ભौતિક મહત્વનું નથી. કળા જડપ વલ

## જવાબો (Answers)

પણ તે જ રીતે ભौતિક મહત્વ નથી ધરાવતી. સમૂહ (ગ્રુપ) જડપનું ભौતિક મહત્વ છે, જે આ મુજબ અપાય છે.

$$\frac{dv}{d(1/\lambda)} = \frac{dE}{dp} = \frac{d}{dp} \left( \frac{p^2}{2m} \right) = \frac{p}{m} .$$

### પ્રકરણ 12

**12.1** (a) થી જુદું નથી, (b) થોમસનનું મોડેલ, રધરફર્ડનું મોડેલ, (c) રધરફર્ડનું મોડેલ, (d) થોમસનનું મોડેલ, રધરફર્ડનું મોડેલ, (e) બંને મોડેલો

**12.2** હાઇડ્રોજન પરમાણુનું ન્યુક્લિયસ પ્રોટોન છે. તેનું દળ  $1.67 \times 10^{-27}$  kg છે, જ્યારે આપાત થયેલા  $\alpha$ -ક્ષાણનું દળ  $6.64 \times 10^{-27}$  kg છે. પ્રકીર્ણન પામતો ક્ષા લક્ષ્ય ન્યુક્લિયસો (પ્રોટોન) કરતાં વધુ દળદાર હોવાથી,  $\alpha$ -ક્ષા સંખ્યા સંઘાતમાં પણ પાછો ફેકશે (Bounce Back) નહિ. આ એક ફૂટબોલ સ્થિર પડેલા ટેનિસ બોલ સાથે અથડાપ તેના જેવું છે. આમ, મોટા કોણે પ્રકીર્ણન નહિ થાપ.

**12.3** 820 nm

**12.4**  $5.6 \times 10^{14}$  Hz

**12.5** 13.6 eV, -27.2 eV

**12.6**  $9.7 \times 10^{-8}$  m,  $3.1 \times 10^{15}$  Hz

**12.7** (a)  $2.18 \times 10^6$  m/s,  $1.09 \times 10^6$  m/s,  $7.27 \times 10^5$  m/s

(b)  $1.52 \times 10^{-16}$  s,  $1.22 \times 10^{-15}$  s,  $4.11 \times 10^{-15}$  s

**12.8**  $2.12 \times 10^{-10}$  m,  $4.77 \times 10^{-10}$  m

**12.9** લાયમન શ્રેષ્ઠી, 103 nm અને 122 nm ; બામર શ્રેષ્ઠી, 656 nm

**12.10**  $2.6 \times 10^{74}$

**12.11** (a) લગભગ તેટલું જ

(b) ધણું ઓછું

(c) તે સૂચવે છે કે પ્રકીર્ણન મોટે ભાગે એક અથડામણથી થયેલ છે, કારણ કે એક જ અથડામણની સંભાવના લક્ષ્ય પરમાણુઓની સંખ્યા સાથે સુરેખ રીતે વધુ છે અને તેથી જાડઈ સાથે પણ સુરેખ રીતે વધે છે.

(d) થોમસનના મોડેલમાં એક જ અથડામણ બહુ ઓછું આવર્તન (ઉપજાવે છે). અવલોકિત થયેલ સરેરાશ પ્રકીર્ણન કોણને ફક્ત ધણાં પ્રકીર્ણન થયેલાં ગણીને જ સમજાવી શકાય છે. આથી, થોમસનના મોડેલમાં ધણાં પ્રકીર્ણન થવાને અવગણવું એ ખોટું છે. રધરફર્ડના મોડેલમાં મોટાભાગનું પ્રકીર્ણન એક જ અથડામણથી મળે છે અને પ્રથમ સંનિકટતા તરીકે ધણાં પ્રકીર્ણનને અવગણી શકાય છે.

**12.12** બોલ્ડર મોડેલમાં પ્રથમ કક્ષાની ત્રિજ્યા  $a_0$  છે, જે  $a_0 = \frac{4\pi\epsilon_0(h/2\pi)^2}{m_e e^2}$  પરથી મળે છે. જો આપણે પરમાણુને ગુરુત્વબળથી ( $Gm_p m_e / r^2$ )થી બંધિત થયેલો માનીએ તો આપણે  $e^2/4\pi\epsilon_0$ ને સ્થાને  $Gm_p m_e$  મૂકવું જોઈએ. એટલે કે પ્રથમ બોલ્ડર કક્ષાના ત્રિજ્યા  $a_0^G = \frac{(h/2\pi)^2}{Gm_p m_e^2} \approx 1.2 \times 10^{29}$  m.

આ મૂલ્ય સમગ્ર વિશ્વ (Universe)ના અંદાજિત પરિમાણ કરતાં ધણું મોટું છે.

મોટાભાગનું પ્રકીર્ણન એક જ અથડામણથી મળે છે અને પ્રથમ સંનિકટતા તરીકે ધણાં પ્રકીર્ણનને અવગણી શકાય છે.

$$12.13 v = \frac{me^4}{(4\pi)^3 \epsilon_0^2 (h/2\pi)^3} \left[ \frac{1}{(n-1)^2} - \frac{1}{n^2} \right] = \frac{me^4 (2n-1)}{(4\pi)^3 \epsilon_0^2 (h/2\pi)^3 n^2 (n-1)^2}$$

nા મોટા મૂલ્ય માટે,  $v \equiv \frac{me^4}{32\pi^3 \epsilon_0^2 (h/2\pi)^3 n^3}$

કક્ષીય આવૃત્તિ  $v_c = (v/2\pi r)$ , બોહર મોડેલમાં  $v = \frac{n(h/2\pi)}{mr}$  અને  $r = \frac{4\pi \epsilon_0 (h/2\pi)^2}{me^2} n^2$ ,

આ પરથી  $v_c = \frac{n(h/2\pi)}{2\pi mr^2} = \frac{me^4}{32\pi^3 \epsilon_0^2 (h/2\pi)^3 n^3}$ , જે n માટેના v જેટલું જ છે.

12.14 (a)  $\left( \frac{e^2}{4\pi \epsilon_0 mc^2} \right)$  રાશિને લંબાઈના પરિમાણ છે. તેનું મૂલ્ય  $2.82 \times 10^{-15} \text{ m}$  છે. જે લાક્ષણિક

પારમાણિક પરિમાણ કરતાં ઘણું નાનું છે.

(b)  $\frac{4\pi \epsilon_0 (h/2\pi)^2}{me^2}$  રાશિને લંબાઈના પરિમાણ છે. તેનું મૂલ્ય  $0.53 \times 10^{-10} \text{ m}$  છે. જે

પારમાણિક પરિમાણના કમનું છે. (એ નોંધો કે, પરિમાણોની દલીલો આપણને એમ કહી શકે નહિ કે સાચું પરિમાણ મેળવવા માટે આપણે hને સ્થાને  $4\pi h/2\pi$  વાપરવાં જોઈએ.)

$$12.15 \text{ બોહરના મોડેલમાં } mv = \frac{nh}{2\pi} \text{ અને } \frac{mv^2}{r} = \frac{Ze^2}{4\pi \epsilon_0 r^2}$$

આ પરથી  $T = \frac{1}{2} mv^2 = \frac{Ze^2}{8\pi \epsilon_0 r} , r = \frac{4\pi \epsilon_0 h^2}{Ze^2 m} n^2$

આ સૂત્રોને સ્થિતિગીર્જાનું શૂન્ય ક્યાં લેવામાં આવે છે, તેની પસંદગી સાથે કોઈ સંબંધ નથી. અનંત અંતરે સ્થિતિગીર્જાનું શૂન્ય પસંદ કરતાં, આપણને  $V = -(Ze^2/4\pi \epsilon_0 r)$  મળે છે, આ પરથી  $V = -2T$  અને  $E = T + V = -T$  મળે.

(a) આપેલ મૂલ્ય  $E = -3.4 \text{ eV}$  રૂઢિગત પસંદગી પર આધારિત છે, જેમાં સ્થિતિગીર્જાનું શૂન્ય અનંત અંતરે લેવાય છે.  $E = -T$  પરથી આ અવસ્થામાં ઈલેક્ટ્રોનની ગતિગીર્જા  $+3.4 \text{ eV}$  છે.

(b)  $V = -2T$ નો ઉપયોગ કરતાં ઈલેક્ટ્રોનની સ્થિતિગીર્જા  $= -6.8 \text{ eV}$ .

(c) જો સ્થિતિગીર્જાનું શૂન્ય બીજી રીતે પસંદ કરીએ તો ગતિગીર્જા બદલાતી નથી. તેનું મૂલ્ય સ્થિતિગીર્જાના શૂન્યની પસંદગીથી સ્વતંત્ર  $+3.4 \text{ eV}$  છે. અવસ્થાની સ્થિતિગીર્જા અને કુલ ઊર્જા બદલાશે, જો સ્થિતિગીર્જાનું શૂન્ય બીજે લેવામાં આવે તો.

12.16 ગ્રહોની ગતિ સાથે સંકળાયેલ કોણીય વેગમાનનો hની સાપેક્ષે સરખામણી ન કરી શકાય તેટલાં હોય છે. દાખલા તરીકે પૃથ્વીનું કોણીય વેગમાન લગભગ  $10^{70} \text{ h}$ ના કમનું છે. બોહરની કવોન્ટમીકરણની સ્વીકૃતિના પદમાં આ n ના ખૂબ મોટા મૂલ્યને અનુરૂપ છે ( $10^{70}$ ના કમનું). n નાં આવાં મોટા મૂલ્યો માટે બોહર મોડેલની કમિક કવોન્ટમીકૃત સ્તરોની ઊર્જાઓ અને કોણીય વેગમાનોના તફાવતો તે સ્તરોના ઊર્જા અને કોણીય વેગમાનના મૂલ્યોની સરખામણીએ એટલાં નાનાં હોય છે કે, બધા વ્યાવહારિક હેતુઓ માટે આપણો સ્તરોને સતત (સળંગ) ગણી શકીએ છીએ.

## જવાબો (Answers)

**12.17** બોહ્ર મોડેલના સૂત્રોમાં  $m_e$ ને સ્થાને  $m_\mu$  મૂકવું જોઈએ. આપણે નોંધીએ કે બીજા પરિબળો અચળ

રાખતાં  $r \propto (1/m)$  અને  $E \propto m$ . જણાય છે. આથી,

$$r_\mu = \frac{r_e m_e}{m_\mu} = \frac{0.53 \times 10^{-10}}{207} = 2.56 \times 10^{-13} \text{ m}$$

$$E_\mu = \frac{E_e m_\mu}{m_e} = -(13.6 \times 207) \text{ eV} \equiv -2.8 \text{ keV}$$

### પ્રકરણ 13

**13.1** (a)  $6.941 u$ , (b)  $19.9\%$ ,  $80.1\%$

**13.2**  $20.18 u$

**13.3**  $104.7 \text{ MeV}$

**13.4**  $8.79 \text{ MeV}$ ,  $7.84 \text{ MeV}$

**13.5**  $1.584 \times 10^{25} \text{ MeV}$  અથવા  $2.535 \times 10^{12} \text{ J}$

**13.6** (i)  ${}_{88}^{226}\text{Ra} \rightarrow {}_{86}^{222}\text{Rn} + {}_2^4\text{He}$       (ii)  ${}_{94}^{242}\text{Pu} \rightarrow {}_{92}^{238}\text{U} + {}_2^4\text{He}$

(iii)  ${}_{15}^{32}\text{P} \rightarrow {}_{16}^{32}\text{S} + e^- + \bar{\nu}$       (iv)  ${}_{83}^{210}\text{Bi} \rightarrow {}_{84}^{210}\text{Po} + e^- + \bar{\nu}$

(v)  ${}_{6}^{11}\text{C} \rightarrow {}_{5}^{11}\text{B} + e^+ + \nu$       (vi)  ${}_{43}^{97}\text{Tc} \rightarrow {}_{42}^{97}\text{Mo} + e^+ + \nu$

(vii)  ${}_{54}^{120}\text{Xe} + e^- \rightarrow {}_{53}^{120}\text{I} + \nu$

**13.7** (a)  $5 T$  વર્ષ, (b)  $6.65 T$  વર્ષ

**13.8**  $4224 \text{ vર્ષ}$

**13.9**  $7.126 \times 10^{-6} \text{ g}$

**13.10**  $7.877 \times 10^{10} \text{ Bq}$  અથવા  $2.13 \text{ Ci}$

**13.11**  $1.23$

**13.12** (a)  $Q = 4.93 \text{ MeV}$ ,  $E_\alpha = 4.85 \text{ MeV}$ , (b)  $Q = 6.41 \text{ MeV}$ ,  $E_\alpha = 6.29 \text{ MeV}$

**13.13**  ${}_{6}^{11}\text{C} \rightarrow {}_{5}^{11}\text{B} + e^+ + \nu + Q$

$$Q = [m_N({}_{6}^{11}\text{C}) - m_N({}_{5}^{11}\text{B}) - m_e]c^2$$

જ્યાં, ઉપયોગમાં લીધેલ દળો પરમાણુઓના નહિ પણ ન્યુક્લિયસનાં છે. જો આપણે પરમાણુદળોનો ઉપયોગ કરીએ તો  ${}_{6}^{11}\text{C}$  ના ન્યુક્લિયસના દળ માટે તેના પરમાણુદળમાંથી  $6m_e$  બાદ કરવું પડે અને  ${}_{5}^{11}\text{B}$  ના ન્યુક્લિયસના દળ માટે તેના પરમાણુદળમાંથી  $5m_e$  બાદ કરવું પડે. આથી,  $Q = [m({}_{6}^{11}\text{C}) - m({}_{5}^{11}\text{B}) - 2m_e]c^2$  (નોંધો કે અહીં  $m_e$  નું બમણું આવેલ છે.) આપેલ દળોનો ઉપયોગ કરતાં,  $Q = 0.961 \text{ MeV}$

$$Q = E_d + E_e + E_\nu.$$

જનિત ન્યુક્લિયસ,  $e^+$  અને જીની સરખામણીએ અતિ ભારે છે, તેથી તે અવગાજ્ય ઊર્જા લઈ જાય છે. ( $E_d \approx 0$ ). જો ન્યુટ્રોનો વડે લઈ જવાતી ઊર્જા લઘુતમ (એટલે કે શૂન્ય) હોય તો પોઝિટ્રોન મહત્તમ ઊર્જા લઈ જાય છે, જે વ્યવહારમાં બધી જ એટલે કે  $Q$  ઊર્જા લઈ જાય છે. આથી, મહત્તમ  $E_e \approx Q$ .

**13.14**  ${}_{10}^{23}\text{Ne} \rightarrow {}_{11}^{23}\text{Na} + e^- + \bar{\nu} + Q$ ;  $Q = [m_N({}_{10}^{23}\text{Ne}) - m_N({}_{11}^{23}\text{Na}) - m_e]c^2$ , જ્યાં સ્વાધ્યાય

13.13ની જેમ ઉપયોગમાં લીધેલ દળો પરમાણુના નહિ પણ ન્યુક્લિયસનાં છે. પરમાણુ દળોનો ઉપયોગ કરતાં,  $Q = [m({}_{10}^{23}\text{Ne}) - m({}_{11}^{23}\text{Na})]c^2$ . નોંધો કે  $m_e$  નાબુદ થયેલ છે. આપેલ દળોનો



## ભौतिकવिज्ञान

ઉપयोग કરતां,  $Q = 4.37 \text{ MeV}$ . સ્વાધ્યાય 13.13ની જેમ ઈલેક્ટ્રોનની મહત્તમ ગતિગીર્જા (મહત્તમ  $E_e$ ) =  $Q = 4.37 \text{ MeV}$ .

**13.15** (i)  $Q = -4.03 \text{ MeV}$ , ઉભાશોષક

(ii)  $Q = 4.62 \text{ MeV}$ , ઉભાક્ષેપક

**13.16**  $Q = m(\frac{^{56}}{_{26}}\text{Fe}) - 2m(\frac{^{28}}{_{13}}\text{Al}) = 26.90 \text{ MeV}$ , શક્ય નથી.

**13.17**  $4.536 \times 10^{26} \text{ MeV}$

**13.18**  $\frac{^{235}}{_{92}}\text{U}$ ના દર ગ્રામ દીઠ ઉદ્ભવેલી ઊર્જા =  $\frac{6 \times 10^{23} \times 200 \times 1.6 \times 10^{-13}}{235} \text{ J g}^{-1}$ , 80 % સમય સાથે 5 માંનાં વપરાતા  $\frac{^{235}}{_{92}}\text{U}$  નો જથ્થો

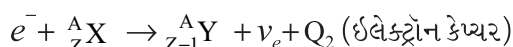
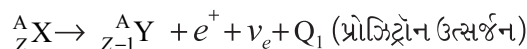
$$= \frac{5 \times 0.8 \times 3.154 \times 10^{16} \times 235}{1.2 \times 1.6 \times 10^{13}} \text{ g} = 1544 \text{ kg.}$$

$\frac{^{235}}{_{92}}\text{U}$ નો પ્રારંભિક જથ્થો = 3088 kg.

**13.19** લગભગ  $4.9 \times 10^4 \text{ yr}$

**13.20**  $360 \text{ keV}$

**13.22** સ્પર્ધા કરતી બંને પ્રક્રિયાઓ વિચારો :



$$Q_1 = [m_N(\frac{A}{Z}X) - m_N(\frac{A}{Z-1}Y) - m_e]c^2$$

$$= [m(\frac{A}{Z}X) - Zm_e - m(\frac{A}{Z-1}Y) + (Z-1)m_e - m_e]c^2$$

$$= [m(\frac{A}{Z}X) - m(\frac{A}{Z-1}Y) - 2m_e]c^2$$

$$Q_2 = [m_N(\frac{A}{Z}X) + m_e - m_N(\frac{A}{Z-1}Y)]c^2 = [m(\frac{A}{Z}X) - m(\frac{A}{Z-1}Y)]c^2$$

આનો અર્થ એ કે  $Q_1 > 0$  પરથી  $Q_2 > 0$  હોય જ પણ  $Q_2 > 0$  માટે  $Q_1 > 0$  હોવું જરૂરી નથી.

આથી, માંગેલ પરિણામ મળે છે.

**13.23**  ${}_{12}^{25}\text{Mg} : 9.3 \%, {}_{12}^{26}\text{Mg} : 11.7 \%$

**13.24**  ${}_{Z}^A X$  ન્યુક્લિયસની ન્યુક્લોન વિયોગ ઊર્જા  $S_n$

$$S_n = [m_N(\frac{A-1}{Z}X) + m_n - m_N(\frac{A}{Z}X)]c^2$$

$$\text{આપેક્ષ વિગતો પરથી } S_n({}_{20}^{41}\text{Ca}) = 8.36 \text{ MeV}, S_n({}_{13}^{27}\text{Al}) = 13.06 \text{ MeV}$$

**13.25**  $209 d$

**13.26**  ${}_{6}^{14}\text{C}$  ના ઉત્સર્જન માટે,

$$Q = [m_N(\frac{223}{88}\text{Ra}) + m_N(\frac{209}{82}\text{Pb}) - m_N(\frac{14}{6}\text{C})]c^2$$

$$= [m(\frac{223}{88}\text{Ra}) - m(\frac{209}{82}\text{Pb}) - m(\frac{14}{6}\text{C})]c^2 = 31.85 \text{ MeV}$$

$${}_{2}^{4}\text{He} \text{ ના ઉત્સર્જન માટે, } Q = [m(\frac{223}{88}\text{Ra}) - m(\frac{219}{86}\text{Rn}) - m(\frac{4}{2}\text{He})]c^2 = 5.98 \text{ MeV}$$

**13.27**  $Q = [m(\frac{238}{92}\text{U}) + m_n - m(\frac{140}{58}\text{Ce}) - m(\frac{99}{44}\text{Ru})]c^2 = 231.1 \text{ MeV}$

## જવાબો (Answers)

**13.28 (a)**  $Q = [m(^2_1H) + m(^3_1H) - m(^4_2He) - m_n]c^2 = 17.59 \text{ MeV}$

(b) ફુલંબ અપાકર્ષણને ઓળંગી જવા (પાર કરવા) માટે જરૂરી ગતિગીર્જા =  $480.0 \text{ keV}$

$$480.0 \text{ keV} = 7.68 \times 10^{-14} \text{ J} = 3 \text{ kT}$$

$$\begin{aligned} T &= \frac{7.68 \times 10^{-14}}{3 \times 1.381 \times 10^{-23}} \quad (k = 1.381 \times 10^{-23} \text{ JK}^{-1} \text{ હોવાથી}) \\ &= 1.85 \times 10^9 \text{ K} \quad (\text{જરૂરી તાપમાન}) \end{aligned}$$

**13.29**  $K_{\max}(\beta^-_1) = 0.284 \text{ MeV}, K_{\max}(\beta^-_2) = 0.960 \text{ MeV}$

$$\nu(\gamma_1) = 2.627 \times 10^{20} \text{ Hz}, \nu(\gamma_2) = 0.995 \times 10^{20} \text{ Hz}, \nu(\gamma_3) = 1.632 \times 10^{20} \text{ Hz}$$

**13.30 (a)** નોંધો કે સૂર્યના અંતરિયાળ ભાગમાં ચાર  $^1_1H$  ન્યુક્લિયસ સંયોજાઈને એક  $^4_2He$  ન્યુક્લિયસ બનાવે છે અને દર ઘટના દીઠ લગભગ  $26 \text{ MeV}$  ઊર્જા વિમુક્ત કરે છે.  $1 \text{ kg}$  હાઈડ્રોજનના સંલયનમાં વિમુક્ત થતી ઊર્જા =  $39 \times 10^{26} \text{ MeV}$ .

(b)  $^{235}_{92}\text{U}$  ના  $1 \text{ kg}$ ના વિખંડનમાં વિમુક્ત થતી ઊર્જા =  $5.1 \times 10^{26} \text{ MeV}$ .

$1 \text{ kg}$  હાઈડ્રોજનના સંલયનમાં વિમુક્ત થતી ઊર્જા,  $1 \text{ kg}$  યુરેનિયમના વિખંડનમાં વિમુક્ત થતી ઊર્જાના લગભગ  $8 \text{ ગડ્ડી}$  છે.

**13.31**  $3.076 \times 10^4 \text{ kg}$

### પ્રકરણ 14

**14.1 (c)**

**14.2 (d)**

**14.3 (c)**

**14.4 (c)**

**14.5 (c)**

**14.6** અર્ધતરંગ માટે  $50 \text{ Hz}$ , પૂર્ણ તરંગ માટે  $100 \text{ Hz}$ .

**14.7** ના ( $E_g$  કરતાં  $h\nu$  મોટું હોવું જોઈએ.)

**14.8**  $n_e \approx 4.95 \times 10^{22}, n_h = 4.75 \times 10^9$ .  $n$ -નકારનો, કારણ કે  $n_e \gg n_h$ .

વિદ્યુતભાર તટસ્થતા (ન્યુટ્રાલિટી) માટે  $N_D - N_A = n_e - n_h, n_e \cdot n_h = n_i^2$

આ સમીકરણો ઉકેલવાથી  $n_e = \frac{1}{2} \left[ (N_D - N_A) + \sqrt{(N_D - N_A)^2 + 4n_i^2} \right]$

**14.9** લગભગ  $1 \times 10^5$

**14.10 (a)**  $0.0629 \text{ A}, (b) 2.97 \text{ A}, (c) 0.336 \Omega$

(d) બંને વોલ્ટેજ માટે, પ્રવાહ I લગભગ  $I_0$  જેટલો જ હશે, જે રિવર્સ બાયસ દરમિયાન લગભગ અનંત ડાયનેમિક અવરોધ દર્શાવે છે.

**14.12 NOT :**

A	Y
0	1
1	0

**14.13 (a)** AND, (b) OR

**14.14 OR ગેટ**

**14.15 (a)** NOT, (b) AND



## BIBLIOGRAPHY

### પાઠ્યપુસ્તકો

આ પુસ્તકમાં આવરી લેવાયેલ મુદ્દાઓ અંગેના વધારાનાં વાચન માટે નીચેનાં પુસ્તકોમાંથી એક કે વધુ પુસ્તકનું વાચન કરવાનું કદાચ તમને ગમશે. જોકે આમાંના કેટલાંક પુસ્તકો વધુ ઊંચાં સ્તરનાં છે અને આ પુસ્તકમાંના મુદ્દાઓ કરતાં ઘણા વધુ મુદ્દાઓ ધરાવતા હોઈ શકે.

1. **Ordinary Level Physics**, A.F. Abbott, Arnold-Heinemann (1984)
2. **Advanced Level Physics**, M. Nelkon and P. Parker, 6th Edition Arnold-Heinemann (1987)
3. **Advanced Physics**, Tom Duncan, John Murray (2000)
4. **Fundamentals of Physics**, David Halliday, Robert Resnick and Jearl Walker, 7th Edition John Wiley (2004)
5. **University Physics**, H.D. Young, M.W. Zemansky and F.W. Sears, Narosa Pub. House (1982)
6. **Problems in Elementary Physics**, B. Bukhovtsa, V. Krivchenkov, G. Myakishev and V. Shalnov, MIR Publishers, (1971)
7. **Lectures on Physics (3 volumes)**, R.P. Feynman, Addison – Wesley (1965)
8. **Berkeley Physics Course (5 volumes)** McGraw Hill (1965)
  - a. Vol. 1 – Mechanics: (Kittel, Knight and Ruderman)
  - b. Vol. 2 – Electricity and Magnetism (E.M. Purcell)
  - c. Vol. 3 – Waves and Oscillations (Frank S. Crawford)
  - d. Vol. 4 – Quantum Physics (Wichmann)
  - e. Vol. 5 – Statistical Physics (F. Reif)
9. **Fundamental University Physics**, M. Alonso and E. J. Finn, Addison – Wesley (1967)
10. **College Physics**, R.L. Weber, K.V. Manning, M.W. White and G.A. Weygand, Tata McGraw Hill (1977)
11. **Physics : Foundations and Frontiers**, G. Gamow and J.M. Cleveland, Tata McGraw Hill (1978)
12. **Physics for the Inquiring Mind**, E.M. Rogers, Princeton University Press (1960)
13. **PSSC Physics Course**, DC Heath and Co. (1965) Indian Edition, NCERT (1967)
14. **Physics Advanced Level**, Jim Breithaupt, Stanley Thornes Publishers (2000)
15. **Physics, Patrick Fullick**, Heinemann (2000)
16. **Conceptual Physics**, Paul G. Hewitt, Addison-Wesley (1998)
17. **College Physics**, Raymond A. Serway and Jerry S. Faughn, Harcourt Brace and Co. (1999)
18. **University Physics**, Harris Benson, John Wiley (1996)
19. **University Physics**, William P. Crummet and Arthur B. Western, Wm.C. Brown (1994)
20. **General Physics**, Morton M. Sternheim and Joseph W. Kane, John Wiley (1988)
21. **Physics**, Hans C. Ohanian, W.W. Norton (1989)
22. **Advanced Physics**, Keith Gibbs, Cambridge University Press(1996)

## BIBLIOGRAPHY

23. **Understanding Basic Mechanics**, F. Reif, John Wiley (1995)
24. **College Physics**, Jerry D. Wilson and Anthony J. Buffa, Prentice-Hall (1997)
25. **Senior Physics, Part – I**, I.K. Kikoin and A.K. Kikoin, Mir Publishers (1987)
26. **Senior Physics, Part – II**, B. Bekhovtsev, Mir Publishers (1988)
27. **Understanding Physics**, K. Cummings, Patrick J. Cooney, Priscilla W. Laws and Edward F. Redish, John Wiley (2005)
28. **Essentials of Physics**, John D. Cutnell and Kenneth W. Johnson, John Wiley (2005)

### સામાન્ય પુસ્તકો

વિજ્ઞાન અને માહિતીપ્રદ તથા મનોરંજક વ્યાપક વાચન માટે તમને કદાચ નીચેનામાંથી કેટલાંક પુસ્તકો વાંચવાનું ગમશે. આમ છતાં યાદ રાખો કે આમાંનાં ધ્યાન પુસ્તકો આ પુસ્તકના સ્તર કરતા ધ્યાન આગળના સ્તરે લખાયેલ છે.

1. **Mr. Tompkins in paperback**, G. Gamow, Cambridge University Press (1967)
2. **The Universe and Dr. Einstein**, C. Barnett, Time Inc. New York (1962)
3. **Thirty years that Shook Physics**, G. Gamow, Double Day, New York (1966)
4. **Surely You're Joking, Mr. Feynman**, R.P. Feynman, Bantam books (1986)
5. **One, Two, Three... Infinity**, G. Gamow, Viking Inc. (1961)
6. **The Meaning of Relativity**, A. Einstein, (Indian Edition) Oxford and IBH Pub. Co (1965)
7. **Atomic Theory and the Description of Nature**, Niels Bohr, Cambridge (1934)
8. **The Physical Principles of Quantum Theory**, W. Heisenberg, University of Chicago Press (1930)
9. **The Physics- Astronomy Frontier**, F. Hoyle and J.V. Narlikar, W.H. Freeman (1980)
10. **The Flying Circus of Physics with Answer**, J. Walker, John Wiley and Sons (1977)
11. **Physics for Everyone** (series), L.D. Landau and A.I. Kitaigorodski, MIR Publisher (1978)  
Book 1 : Physical Bodies  
Book 2 : Molecules  
Book 3 : Electrons  
Book 4 : Photons and Nuclei
12. **Physics can be Fun**, Y. Perelman, MIR Publishers (1986)
13. **Power of Ten**, Philip Morrison and Eames, W.H. Freeman (1985)
14. **Physics in your Kitchen Lab.**, I.K. Kikoin, MIR Publishers (1985)
15. **How Things Work : The Physics of Everyday Life**, Louis A. Bloomfield, John Wiley (2005)
16. **Physics Matters : An Introduction to Conceptual Physics**, James Trefil and Robert M. Hazen, John Wiley (2004)

## પारिभाषिक શब्दો

Absorption spectra	- શોષણ વર્ણપત્ર	Cells in series	- શ્રેષ્ઠીમાં વિદ્યુતકોષો
AC voltage	- AC વોલ્ટેજ	Chain reaction	- શૂંખલા પ્રક્રિયા
Accelerators in India	- ભારતમાં પ્રવેગકો	Charging by induction	- પ્રેરણ દ્વારા વિદ્યુતભારિત કરવું
Additivity of charges	- વિદ્યુતભારોનું ઉમેરાવું	Chromatic aberration	- વર્ણ-વિપથનની ક્ષતિ
Alpha decay	- આલ્ફા ક્ષય	Coherent source	- સુસંબદ્ધ ઉદ્ગ્રામ
Alpha particle scattering	- આલ્ફા કણનું પ્રક્રિઝન	Combination of lenses	- લેન્સનું સંયોજન
Angle of deviation	- વિચલન કોણ	Combination of resistors	- અવરોધોનું
Angle of incidence	- આપાત કોણ	series	શ્રેષ્ઠી સંયોજન
Angle of reflection	- પરાવર્તન કોણ	parallel	અવરોધોનું સમાંતર સંયોજન
Angle of refraction	- વક્તિભૂત કોણ	Composition of nucleus	- ન્યૂક્લિયસનું બંધારણ
Angular magnification	- કોણીય મોટવણી	Concave mirror	- અંતર્ગ૊ળ અરીસો
Apparent depth	- આભાસી ઉંડાઈ	Conduction band	- કન્ડકશન બેન્ડ
Area element vector	- ક્ષેત્રફળ ખંડ સાદિશ	Conductivity	- વાહકતા
Atomic mass unit	- એટમીક માસ યુનિટ	Conductor	- વાહકો
Atomic number	- પરમાણુ કમાંક	Conservation of charge	- વિદ્યુતભારનું સરકાણ
Atomic spectra	- પરમાણુ વર્ણપત્ર	Conservative force	- સરક્ષી બળ
Aurora Borialis	- ઓરોરા બોરિઓલિસ	Control rods	- નિયંત્રક સણિયા
Band gap	- બેન્ડ ગેપ	Convex mirror	- બહિર્ગ૊ળ અરીસો
Bar magnet	- ગજ્યો ચુંબક	Critical angle	- કાંતિકોણ
as solenoid	- સેલેનોઇડ તરીકે	Curie temperature	- ક્યુરિ તાપમાન
Barrier potential	- બેરિયર સ્થિતિમાન	Current density	- પ્રવાહ ઘનતા
Beta decay	- બીટા ક્ષય	Current loop as a magnetic dipole	- લૂપ ચુંબકીય ડાયપોલ તરીકે
Binding energy per nucleon	- ન્યૂક્લિયોન ટીથ બંધનઊર્જી	Current sensitivity of galvanometer	- ગેલ્વેનોમીટરની પ્રવાહ સંવેદિતા
Bohr magneton	- બોહર મેનેનેન	Cut-off voltage/stopping potential	- કટ-ઓફ વોલ્ટેજ/સ્ટોપોંગ પોટેન્શિયલ
Bohr radius	- બોહર ત્રિજ્યા	Cyclotron frequency	- સાયક્લોટ્રોન આવૃત્તિ
Bohr's model of atom	- બોહરનું પરમાણુ મોડેલ	Damping	- વિદ્યુતચુંબકીય અવમંદન
Bohr's postulates	- બોહર અધિતર્ક		
Capacitive circuit	- કેપેસીટીવ પરિપથ		
Capacitor	- સંધારક (કેપેસીટર)		
Cartesian sign convention	- કાર્ટેજીય સંજ્ઞા પદ્ધતિ		
Cells in parallel	- સમાંતરમાં વિદ્યુતકોષો		

## પારિભાષિક શબ્દો

Decay constant	- ક્ષય નિયંતાક	જીજી
Diamagnetism	- ડાયમેગ્નેટિઝમ	વિદ્યુત સમસ્થિતિમાન પૃષ્ઠો
Dielectrics	- ડાયરલેક્ટ્રિક પારવિદ્યુત	ઉતોજીત અવસ્થા
Dielectric constant	- ડાયરલેક્ટ્રિક અચળાંક	આંતરિક અર્દ્ધવાહકો
Dielectrics strength	- ડાયરલેક્ટ્રિક સ્ટ્રેન્થ	જડપી સંવર્ધક રીએક્ટર
Diffraction	- વિવર્તન	Ferro magnetism
single slit	- એક સ્લિટ વડે વિવર્તન	ફોરોમેનેટિઝમ (લોહચુંબકત્વ)
Dipole moment	- ડાયપોલ મોમેન્ટ	ક્ષેત્ર
Dipole moment vector	- ડાયપોલ મોમેન્ટ સંદિશ	અનંત વિસ્તારવાળા સમતલને લીધે
Dipole in uniform electric field	- સમાન વિદ્યુતશૈશ્વરમાં ડાયપોલ	નિયમિત વિજાભારને લીધે ધરાવતી પાતળી ગોલીય
Dispersion by a prism	- પ્રિઝમ દ્વારા વિભાજન	કવચના લીધે
Displacement current	- સ્થાનાંતર પ્રવાહ	ક્ષેત્ર ઉત્સર્જન
Drift velocity	- ડ્રિફ્ટ વેગ	કેન્દ્રલંબાઈ
Earth's magnetism	- પૃથ્વીનું ચુંબકત્વ	બે સમાંતર વિજમ્બવાહો
Earthing	- ભૂયોજન	લાગતું બળ
Eddy currents	- ઘૂમરી પ્રવાહ	શલાકાની પહોળાઈ
Electric charge	- વિદ્યુતભાર	પૂર્ણતરંગ રેક્ટીફાયર
Electric current	- વિદ્યુતપ્રવાહ	ગામા કિરણો
Electric dipole	- વિદ્યુત ડાયપોલ	ગામા ક્ષય
Electric displacemnt	- વિદ્યુત સ્થાનાંતર	ભૌગોલિક તલ
Electric field	- વિદ્યુતક્ષેત્ર	સોનાનાં વરખ ધરાવતું
Electric field lines	- વિદ્યુતક્ષેત્ર રેખાઓ	ઇલેક્ટ્રોસ્કોપ
Electric flux	- વિદ્યુતશ્લક્સ	ગ્રાઉન્ડ સ્ટેટ (ધરા અવસ્થા)
Electric susceptibility	- ઇલેક્ટ્રિક સસેપ્ટિબિલિટી	અર્ધ જવનકાળ
Electrical energy	- વિદ્યુતજીજી	અર્ધતરંગ રેક્ટીફાયર
Electromagnetic waves,	- વિદ્યુતચુંબકીય તરંગો,	પૃથ્વીના ચુંબકીય ક્ષેત્રનો
Electron emission	- ઇલેક્ટ્રોન ઉત્સર્જન	સમક્ષિતિજ ધટક
Electrostatics of conductors	- સુવાહકોનું સ્થિતવિદ્યુતશાસ્ત્ર	સંધાત પ્રાચલ
Electromotive force (emf)	- ઇલેક્ટ્રોમોટીવ ફોર્સ(emf)	ઇમ્પેન્સ આકૃતિ
Emission spectra	- ઉત્સર્જન વાર્ષાપત્ર	અન્યોન્ય પ્રેરકત્વ
Energy bands	- જીજીસ્ટરોનો પછો	આત્મ પ્રેરકત્વ
generation in stars	- તારાઓમાં જીજીની ઉત્પત્તિ	
levels	- જીજીસ્ટર	
stored in capacitor	- કેપેસીટરમાં સંગ્રહિત	

## ભौतિકવિજ્ઞાન

Induction of charge	- વિદ્યુતભારનું પ્રેરણ	force on a current carrying conductor	- પ્રવાહ ધારિત વાહક
Inductive circuit reactance	- ઈન્ડક્ટીવ પરિપथ રીએક્ટન્સ	force	- ચુંબકીય બળ
Insulator	- અવાહકો	hysteresis	- ચુંબકીય હિસ્ટેરીસીસ
Interference constructive	- સહાયક વ્યતિકરણ	inclination	- ચુંબકીય નમનકોણ
destructive fringes	- વિનાશક વ્યતિકરણ ફ્રિંગ્સ	intensity	- ચુંબકીય તીવ્રતા
Internal resistance	- આંતરિક અવરોધ	meridian	- ચુંબકીય ધ્રુવતણ
Intrinsic semiconductor	- શુદ્ધ અર્ધવાહક	moment of a current loop	- પ્રવાહ લૂપની ચુંબકીય ચાકમાત્રા
Ionisation energy	- આયનીકરણ ઊર્જા	moment	- ચુંબકીય ચાકમાત્રા
Isobars	- સમદળીય	permeability	- ચુંબકીય પારગામ્યતા (પર્મિએબીલીટી)
Isotones	- આઈસોટોન	potential energy	- ચુંબકીય રિષ્ટિગ્ઝિઝ
Lateral shift	- પાર્શ્વિક સ્થાનાંતર	susceptibility	- ચુંબકીય સસેપ્ટિબીલીટી
Law of radioactive decay	- રેઝિઓએક્ટીવ ક્ષયનો નિયમ	Torque	- ટોર્ક (બળ-યુગમ)
of reflection	- પરાવર્તનનો નિયમ	Magnetisation	- મેગનેટોએશન
of refraction	- વક્તિભવનનો યિમ	Majority carriers	- મેજોરીટી વાહકો
L. C. Oscillations	- LC દોલનો	Mass	- દળ-ક્ષતિ
Linear charge density	- રેખીય વિદ્યુતભાર ઘનતા	defect number	- દળાંક
magnification / magnifying power	- રેખીય મોટવણી / મોટવશક્તિ	Energy relation	- દળ-ઊર્જા સંબંધ
Magnetic declination	- ચુંબકીય દિક્કાતકોણ (ડિક્લિનેશન)	Mean life	- સરેરાશ જીવનકાળ
Magnetic dipole	- ચુંબકીય દ્વિ-ધ્રુવી (ડાયપોલ)	Microscope compound	- માઈક્રોસ્કોપ
dipole moment of a revolving electron	- પરિભ્રમણ કરતા ઈલેક્ટ્રોનની ચુંબકીય ડાયપોલ મોમેન્ટ (ચાકમાત્રા)	Microwaves	- સંયુક્ત માઈક્રોસ્કોપ
field	- ચુંબકીય ક્ષેત્ર	Minority carriers	- માઈનોરીટી વાહકો
field lines	- ચુંબકીય ક્ષેત્રરેખાઓ	Mirage	- મૃગજળ, મરીચિકા
field on the axis of circular current loop	- વર્તણકાર પ્રવાહ લૂપની અક્ષ પર ચુંબકીય ક્ષેત્ર	Mirror equation	- અરીસાનું સમીક્ષણ
flux	- ચુંબકીય ફલક્સ	Mobility	- મોબિલીટી (ગતિશીલતા)

## પારિભાષિક શબ્દો

Noise	- ધોંઘાટ	by scattering	- પ્રક્રીંન દ્વારા ધૂવીભવન
Non-polar molecules	- અ-ધૂવીય અણુઓ	Polarity of charge	- વિદ્યુતભારની ધૂવીયતા
North pole	- ઉત્તર ધૂવ	Potential	
n-type semiconductor	- n-પ્રકારનો અર્ધવાહક	due to an electric dipole	- વિદ્યુત ડાયપોલને લીધે સ્થિતિમાન
Nuclear binding energy	- ન્યુક્લિયર બંધન ઊર્જા	due to a point charge	- બંદુવત વિદ્યુતભારને લીધે સ્થિતિમાન
density	- ન્યુક્લિયર ઘનતા	due to a system of charges	- વિદ્યુતભારોના તંત્રને લીધે સ્થિતિમાન
energy	- ન્યુક્લિયર ઊર્જા	energy difference	- સ્થિતિઊર્જાનો તફાવત
fission	- ન્યુક્લિયર વિખંડન	energy for a system of charges	- વિદ્યુતભારોના તંત્રની સ્થિતિઊર્જા
force	- ન્યુક્લિયર બળ	energy of a dipole	- ડાયપોલની સ્થિતિઊર્જા
fusion	- ન્યુક્લિયર સંલયન	energy of a single charge	- એકાદી વિદ્યુતભારની સ્થિતિઊર્જા
holocaust	- ન્યુક્લિયર આઇન્ટ	energy of a system of two charges	- બે વિદ્યુતભારોના તંત્રની સ્થિતિઊર્જા
reactor	- ન્યુક્લિયર રીએક્ટર	energy	- સ્થિતિઊર્જા
size	- ન્યુક્લિયસનું માપ	Power (electrical)	- પાવર (વિદ્યુત)
winter	- ન્યુક્લિયર શિયાળો	factor	- પાવર ફેક્ટર
Numerical aperture	- સંખ્યાત્મક દર્પણમુખ	in ac circuit	- ac પરિપથમાં પાવર
Optical fibres	- ઓપ્ટિકલ ફાઈલર	of lens	- લેન્સનો પાવર
Orbital magnetic moment	- કક્ષીય ચુંબકીય ચાકમાત્રા	Pressurised heavy water reactors	- પ્રેશરાઇઝ્ડ ભારે પાણી રીએક્ટરો
Paramagnetism	- પેરામેન્ટિઝમ (અનુચુંબકત્વ)	Primary coil	- પ્રાથમિક ગૂંચણું
Permanent magnets	- કાર્યમી ચુંબકો	Principal focus	- મુખ્યકેન્દ્ર
Permeability of free space	- મુક્ત અવકાશની પારગમ્યતા	Principal quantum number	- મુખ્ય ક્વોન્ટમ અંક
Permittivity of free space	- મુક્ત અવકાશનો પરાવૈદ્યુતાંક	Prism formula	- પ્રિઝમનું સૂત્ર
of medium	- માધ્યમનો પરાવૈદ્યુતાંક	Properties of electric charge	- વિદ્યુતભારના ગુણધર્મો
Phasors diagram	- ફેઝર આઇન્ટિ	p-type semiconductor	- p-પ્રકારનો અર્ધવાહક
Photoelectric emission	- ફોટો ઇલેક્ટ્રિક ઉત્સર્જન	Q-factor/quality factor	- Q-ફેક્ટર/ગુણવત્તા અંક
Photon	- ફોટોન	Quanta of energy	- ઊર્જાના ક્વોન્ટમ
Pith ball	- બરુની ગોળી	Quantization of charge	- વિદ્યુતભારનું ક્વોન્ટમીકરણ
Plane Polarised wave	- સમતલ ધૂવીભૂત તરંગ	Radio waves	- રેડિયો તરંગો
Point charge	- બંદુવત વિદ્યુતભાર		
Polar molecules	- ધૂવીય અણુઓ		
Polarisation	- ધૂવીભવન		
by reflection	- પરાવર્તન દ્વારા ધૂવીભવન		

## ભौतિકવિજ્ઞાન

Radioactivity	- રેઝિયો એક્ટીવીટી	Solar cell	- સૌર કોષ (સોલર સેલ)
Rainbow	- મેધધનુષ્ય	South pole	- દક્ષિણ ધ્રુવ
Ray optics,	- ડિરાઇ પ્રકાશશાસ્ત્ર	spectral series	- વર્ણપટ શ્રેણીઓ
Rectifier	- રેક્ટિફિયર	Spectrum of light	- પ્રકાશનો વર્ણપટ
Red shift	- રેડ શીફ્ટ	Spherical mirror	- ગોલીય અરીસો
Reflection of light	- પ્રકાશનું પરાવર્તન	Spin magnetic moment	- સ્પીન ચુંબકીય ચાકમાત્રા
Refraction of a plane wave	- સમતલ તરંગનું વકીભવન	Surface charge density	- વિદ્યુતભારની પૃષ્ઠ ઘનતા
Refractive index	- વકીભવનાંક	Telescope	- દૂરભીન (ટેલીસ્કોપ)
Relation between field and potential	- ક્ષેત્ર અને સ્થિતિમાન વચ્ચેનો સંબંધ	Temperature dependence of resistivity	- અવરોધકતાનું તાપમાન પરનું અવલંબન
Relaxation time	- રીલેક્સેશન સમય	Thermionic emission	- ઉખાજનિત ઉત્સર્જન
Retentivity	- રીટેન્ટીવીટી (ધારણા- શીલતા, શેષચુંભક્તવ)	Thermonuclear fusion	- તાપન્યુકિલય સંલયન
Resistance	- અવરોધ	Thin lens formula	- પાતળા લેન્સનું સૂત્ર
Resistivity of some materials	- કેટલાંક દ્રવ્યોની અવરોધકતા	Threshold frequency	- સીમાંત (થ્રેશોલ્ડ) આવૃત્તિ
Resolving power of eye	- આંખની વિભેદન શક્તિ	Torque on a current loop	- પ્રવાહ લૂપ પર લાગતું ટોક
Resonance sharpness	- અનુનાદ તીક્ષ્ણતા	on a dipole	- ડાયપોલ પર લાગતું ટોક
Resonant frequency	- અનુનાદીય આવૃત્તિ	Total internal reflection	- પૂર્ણ આંતરિક પરાવર્તન
Reverse bias	- રિવર્સ બાયસ	Transformer	- સ્ટેપ ડાઉન ટ્રાન્સફોર્મર
Right hand rule	- જમણા હાથનો નિયમ	step-down	- સ્ટેપ અપ ટ્રાન્સફોર્મર
Root mean square (rms) or effective current voltage	- સરેરાશ વર્ગિતનું વર્ગમૂળ (rms)અથવા અસરકારક પ્રવાહ વોલ્ટેજ	step-up	- અનિજિતતાનો સિક્ષાંત
Saturation current	- સત્તુજ પ્રવાહ	Uncertainty principle	- અધ્રુવીભૂત તરંગ
Scattering of light	- પ્રકાશનું પ્રકીર્ણન	Unpolarised wave	- પારંબળવી ડિરાઇ (અલ્ટ્રાવાયોલેટ)
Secondary wavelet	- ગૌણ તરંગો	Ultraviolet rays	- વેલન્સ બેન્ડ
Semiconductor diode	- અર્ધવાહક ડાયોડ	Valence band	- વેગ પસંદગીકાર (સીલેક્ટર)
elemental compound	- તાત્ત્વિક અર્ધવાહકો	Velocity selector	- દિશા ડિરાશો
Shunt resistance	- સંયોજન અર્ધવાહકો શંટ અવરોધ	Visible rays	- વોલ્ટેજ રેઝિલેટર
		Voltage regulator	- ગેલેનોમીટરની વોલ્ટેજ સંવેદિતા
		Voltage sensitivity of a galvanometer	- વિદ્યુતભારની કદ ઘનતા
		Volume charge density	- સમતલ તરંગઅગ્ર
		Wavefront	- ગોળાકાર તરંગઅગ્ર
		plane	
		spherical	